



Fakulta elektrotechnická  
Katedra elektroniky a informačních technologií

# BAKALÁŘSKÁ PRÁCE

Kompaktní IO modul distribuovaného systému s komunikací MODBUS

Autor práce: Tomáš Viktora  
Vedoucí práce: Ing. Kamil Kosturik, Ph.D.

Plzeň 2022

ZÁPADOČESKÁ UNIVERZITA V PLZNI

Fakulta elektrotechnická  
Akademický rok: 2021/2022

## ZADÁNÍ BAKALÁŘSKÉ PRÁCE (projektu, uměleckého díla, uměleckého výkonu)

Jméno a příjmení: **Tomáš VIKTORA**  
Osobní číslo: **E18B0038P**  
Studijní program: **B2612 Elektrotechnika a informatika**  
Studijní obor: **Elektronika a telekomunikace**  
Téma práce: **Kompaktní IO modul distribuovaného systému s komunikací MOD-BUS**  
Zadávající katedra: **Katedra elektroniky a informačních technologií**

### Zásady pro vypracování

1. Proveďte rozbor možných řešení IO ve stanici a jejich výhody/nevýhody
2. Uveďte základní princip komunikace MODBUS RTU pro sběrnici RS-485
3. Navrhněte kompaktní IO modul pro modulární tlačítkový blok IEC 60947-5-1, zaměřte se na snadnou montáž, výrobní náklady a diagnostikovatelnost
4. Realizujte funkční prototyp modulu jako po HW, tak SW stránce, připravte výrobní dokumentaci
5. Zhodnoťte navržené řešení a případné možnosti rozšíření


Rozsah bakalářské práce: **30 – 40**  
Rozsah grafických prací: **dle doporučení vedoucího**  
Forma zpracování bakalářské práce: **elektronická**



Seznam doporučené literatury:

Modbus The Manual: Definitive guide on Modbus, Rob Hulsebos, Mijnbestseller.nl (April 3, 2019), ISBN: 9463867643

Vedoucí bakalářské práce: **Ing. Kamil Kosturik, Ph.D.**  
Katedra elektroniky a informačních technologií

Datum zadání bakalářské práce: **8. října 2021**  
Termín odevzdání bakalářské práce: **26. května 2022**

  
**Prof. Ing. Zdeněk Peroutka, Ph.D.**  
děkan

  
  
**Doc. Ing. Jiří Hammerbauer, Ph.D.**  
vedoucí katedry

V Plzni dne 8. října 2021

# Abstrakt

Práce se zabývá návrhem a tvorbou periferie se vstupy a výstupy. Řídícím prvkem této periferie je procesor ATmega 328P. Tuto periférii lze ovládat přes sběrnici RS-485 a po komunikačním protokolu Modbus. Práce popisuje postup návrhu při tvorbě tohoto modulu od návrhu schématu, přes návrh plošného spoje až po samotnou výrobu. Druhá část je věnována tvorbě a popisu softwarového řešení, které celý tento modul řídí. Výsledkem je funkční prototyp se kterým lze komunikovat a ovládat ho pomocí protokolu Modbus.

## Klíčová slova

IO Modul, MODBUS, RS-485, tlačítkový blok, sériová komunikace, ATmega328P, Atmel

# Abstract

Viktora, Tomáš. *Compact IO module of distributed system with MODBUS communication* [*Kompaktní IO modul distribuovaného systému s komunikací MODBUS*]. Pilsen, 2022. Bachelor thesis (in Czech). University of West Bohemia. Faculty of Electrical Engineering. Department of Electronics and Information Technologies. Supervisor: Kamil Kosturik

---

The work deals with the design and creation of module with inputs and outputs. The control element of this module is the processor ATmega 328P. This module can be controlled via the RS-485 bus and via the Modbus communication protocol. The work describes the design process in the creation of this module from the design of the scheme, through the design of the printed circuit board to the production itself. The second part deals with the creation and description of the software solution that controls this module. The result is a functional prototype with which it can be communicated and controlled using the Modbus protocol.

## Keywords

IO Modul, MODBUS, RS-485, button block, serial communication, ATMega328P, Atmel

## Prohlášení

Předkládám tímto k posouzení a obhajobě bakalářskou práci, zpracovanou na závěr studia na Fakultě elektrotechnické Západočeské univerzity v Plzni.

Prohlašuji, že jsem svou závěrečnou práci vypracoval samostatně pod vedením vedoucího bakalářské práce a s použitím odborné literatury a dalších informačních zdrojů, které jsou všechny citovány v práci a uvedeny v seznamu literatury na konci práce. Jako autor uvedené bakalářské práce dále prohlašuji, že v souvislosti s vytvořením této závěrečné práce jsem neporušil autorská práva třetích osob, zejména jsem nezasáhl nedovoleným způsobem do cizích autorských práv osobnostních a jsem si plně vědom následků porušení ustanovení § 11 a následujících autorského zákona č. 121/2000 Sb., včetně možných trestněprávních důsledků vyplývajících z ustanovení § 270 trestního zákona č. 40/2009 Sb.

Také prohlašuji, že veškerý software, použitý při řešení této bakalářské práce, je legální.

V Plzni dne 26. května 2022

Tomáš Viktora

.....

Podpis

## **Poděkování**

Tato práce vznikla za podpory firmy FPC s.r.o

# Obsah

Seznam obrázků	vii
Seznam tabulek	viii
Seznam symbolů a zkratk	ix
<b>1 Úvod</b>	<b>1</b>
<b>2 Řešení IO v testovacích stanicích</b>	<b>2</b>
2.1 Princip IO . . . . .	2
2.2 Současná IO řešení . . . . .	2
2.2.1 Advantech PCIE-1730 . . . . .	2
2.2.2 MicroUnit . . . . .	3
<b>3 Komunikační protokol MODBUS</b>	<b>4</b>
3.1 Základní informace . . . . .	4
3.2 Popis komunikace . . . . .	4
<b>4 Sériová sběrnice RS-485</b>	<b>7</b>
4.1 Popis a parametry RS-485 . . . . .	7
4.2 MODBUS na sběrnici RS-485 . . . . .	7
<b>5 Důvod návrhu kompaktního IO modulu</b>	<b>8</b>
<b>6 Postup při návrhu DPS a výběr vhodných komponent</b>	<b>9</b>
6.1 Výběr hlavních komponent . . . . .	9
6.2 Řešení konektivity . . . . .	10
6.3 Schéma zapojení . . . . .	10
6.3.1 Popis funkce zapojení . . . . .	10
6.4 Návrh DPS . . . . .	14
<b>7 Realizace a výroba prototypu</b>	<b>16</b>
7.1 Výběr výrobce PCB . . . . .	16
7.2 Nákup komponent . . . . .	16



7.3 Osazení komponent . . . . .	17
<b>8 Oživení prototypu</b>	<b>19</b>
8.1 Kontrola napájení . . . . .	19
8.2 Vývojové prostředí . . . . .	19
8.3 Připojení desky k programátoru a první testovací aplikace . . . . .	20
<b>9 Software pro IO modul</b>	<b>22</b>
9.1 Knihovny . . . . .	22
9.2 Obsluha MODBUS komunikace . . . . .	22
9.3 Hlavní funkce programu . . . . .	24
<b>10 Aplikace softwaru a test funkce</b>	<b>27</b>
<b>11 Tvorba výrobní dokumentace</b>	<b>29</b>
<b>12 Plán na další revize zařízení a možnost rozšiřujících modulů</b>	<b>30</b>
<b>13 Závěr</b>	<b>31</b>
<b>Reference, použitá literatura</b>	<b>32</b>
<b>Přílohy</b>	<b>34</b>
<b>A Schémata zapojení</b>	<b>34</b>
<b>B Desky plošných spojů</b>	<b>37</b>
<b>C Zdrojový kód</b>	<b>39</b>
<b>Rejstřík</b>	<b>52</b>

# Seznam obrázků

2.1	Advantech PCIE-1730 [5] . . . . .	2
2.2	Modul Microunit MU-3222AV s 32 izolovaných digitálních vstupních kanálů [4] . . . . .	3
3.1	Struktura rámce MODBUS zprávy . . . . .	4
6.1	Zapojení vstupních signálů . . . . .	11
6.2	Zapojení DC/DC měniče . . . . .	12
6.3	Zapojení IO rozhraní . . . . .	13
6.4	Zapojení MCU . . . . .	13
6.5	Zapojení RS-485 převodníku, ovládání externích signálů a konektorů . . . . .	14
6.6	Vodivé vrstvy navržené desky plošných spojů . . . . .	15
7.1	Vzhled modulu po osazení . . . . .	18
8.1	Ukázka zapojeného modulu při testování funkčnosti . . . . .	21
10.1	Převodní RS-485 na USB od firmy PremiumCord [9] . . . . .	27
10.2	Ukázka zkoušky komunikace pomocí softwaru Herkules . . . . .	28
10.3	Ukázka vlastního softwarového řešení pro komunikaci s modulem . . . . .	28
A.1	Schéma zapojení 1 . . . . .	35
A.2	Schéma zapojení 2 . . . . .	36
B.1	Nepájivá maska horní strany PCB . . . . .	37
B.2	Nepájivá maska spodní strany PCB . . . . .	37
B.3	Osazovací plán horní strany PCB . . . . .	38
B.4	Osazovací plán spodní strany PCB . . . . .	38

# Seznam tabulek

3.1	Přehled kódu pro čtení a zápis do registrů [3] . . . . .	5
3.2	Přehled chybových kódů [3] . . . . .	6
6.1	Doporučené hodnoty indukčností pro nominální hodnoty napětí měniče MCP16311 [10] . . . . .	12

# Seznam symbolů a zkratek

DPS .....	Deska plošných spojů někdy označováno PCB
PCB .....	Printed Circuit Board
USB .....	Universal Serial Bus
PLC .....	Programmable Logic Controller
CRC .....	Cyclic Redundancy Check
MCU .....	Microcontroller, jednočipový počítač
$R$ .....	Elektrický odpor [ $\Omega$ ]
$V$ .....	Elektrické napětí [V]
$L$ .....	Indukčnost [H]
VCC .....	Napájecí napětí
GND .....	Zemnicí bod
UART .....	Sériová sběrnice
DC .....	Stejnoseměrné napětí
SMD .....	Surface Mount Device, součástka pro povrchovou montáž plošných spojů
SSR .....	Solid-State Relay, polovodičový spínací prvek
UTP .....	Unshielded Twisted Pair, nestíněná kroucená dvojlinka

# 1

## Úvod

Díky masové výrobě elektroniky vznikla potřeba tuto elektroniku efektivně testovat. Na základě toho vznikají sofistikované testovací stanice. Nedílnou součástí každé takové stanice jsou moduly se vstupy a výstupy. Tyto moduly slouží ke komunikaci mezi ovládacími prvky a řídicím programem.

Současných řešení je na trhu mnoho, bohužel přestávají být v některých projektech výhodná a z tohoto důvodu bylo potřeba vymyslet nové kompaktní a univerzální řešení. Cílem této práce je vymyslet řešení a následně navrhnout a vytvořit funkční prototyp.

Řešení má již od začátku stanovené základní parametry které vycházejí z požadavků zadavatele práce. První požadavkem je komunikace pro protokolu MODBUS, který je v průmyslu velmi rozšířený. Druhým je možnost připojení modulu jedním kabelem s průchozí sběrnici. Posledním požadavkem je možnost umístění na tlačítkový modul IEC 60947-5-1.

Důležitou stránkou celého řešení je jak hardwarová stránka věci, kdy je potřeba držet se rozměrů které vycházejí z tlačítkového bloku IEC 60947-5-1, tak i softwarová stránka věci, kdy je potřeba vyřešit všechny úskalí komunikačního protokolu.

V neposlední řadě je potřeba rozebrat možnost dalších revizí zařízení, plány se zařízením do reálné aplikace a možnosti rozšíření.

## 2

# Řešení IO v testovacích stanicích

## 2.1 Princip IO

IO moduly slouží ke komunikaci vstupně/výstupních zařízení s řídicím procesorem. Vstupní zařízení přijímá signál například z tlačítek nebo senzorů a převádí ho na informaci zpracovatelnou procesorem. Naopak výstupní zařízení převádí informaci od procesoru na signál, kterým lze ovládat například spínací relé nebo signalizační diody. Nejčastěji se lze s IO moduly setkat v automatizaci, kde jsou nedílnou součástí každé aplikace.

V testovacích stanicích se vyskytují dvě varianty IO modulů. Tyto dvě varianty závisí na složitosti testovací stanice. V případě jednoduché stanice je IO přímo součástí testeru. U složitějších stanic je potřeba přivést IO do řídicího počítače. Moduly pro počítač se vyrábí v podobě PCI a PCIE karet nebo samostatného zařízení s komunikačním protokolem, nejčastěji ethernetem.

## 2.2 Současná IO řešení

### 2.2.1 Advantech PCIE-1730



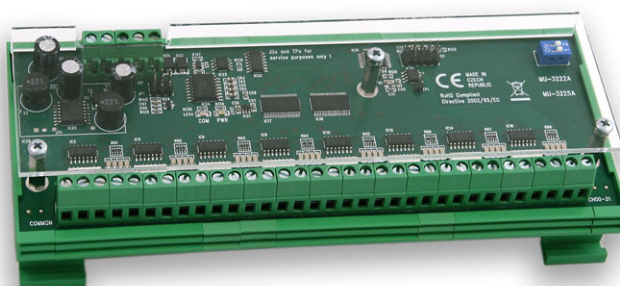
**Obr. 2.1:** Advantech PCIE-1730 [5]

Běžným řešením v menších stanicích je PCIE karta od firmy Advantech. Tato karta

má 16 vstupů a 16 výstupů. Hlavní výhodou této karty je její snadná připojitelnost a integrace. Logické úrovně vstupů mají hodnotu 0-3V pro logickou 0 a 10-30V pro logickou 1. Výstupem lze spínat napětí 5-40V. Všechny vstupy jsou izolované a mají izolační napětí 2500V. Hlavní nevýhodou je potřeba dalšího PCB, které bude umístěno v rozvaděči a bude sloužit jako interface, do které lze snadno připojit na jedné straně kabel z karty a na druhé vodiče od jednotlivých periferií. Připojovací kabel je poměrně masivní a zabírá nemalá množství místa.

### 2.2.2 MicroUnit

Toto řešení je v našich stanicích poměrně nové. Vzniklo z potřeby poměrně velkého množství IO a dlouhodobé nedostupnosti karet PCIE-1730. Základem je řídicí modul, který je s počítačem propojen pomocí ethernetu. Celé řešení je provozováno na komunikačním protokolu MODBUS. Výrobce nabízí nezměrné množství modulů které lze k řídicímu modulu připojit na sběrnici RS-485. V našem případě se nejčastěji používají dva typy modulů. A to MU-3251A, který obsahuje 32 výstupů a MU-3222A, který má stejný počet vstupů. Výhodou těchto zařízení je možnost umístění přímo do rozvaděče na DIN lištu, velká variabilita a možnost propojení pomocí ethernetu. Mezi nevýhody patří rozměry modulů, které hlavně v menší rozvaděčích zabírají nemalé množství místa.



**Obr. 2.2:** Modul Microunit MU-3222AV s 32 izolovaných digitálních vstupních kanálů [4]

# 3

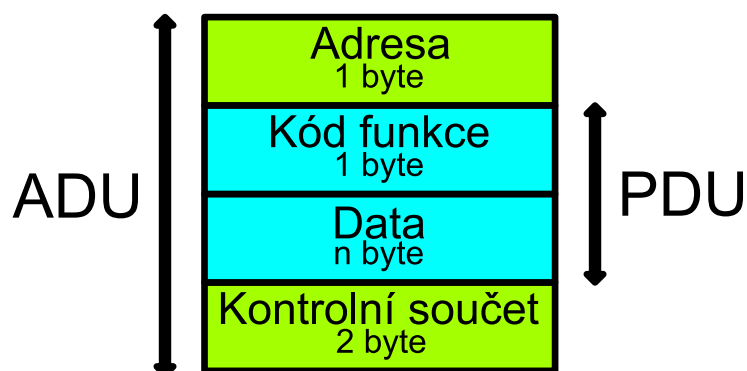
## Komunikační protokol MODBUS

### 3.1 Základní informace

MODBUS je komunikační protokol vyvinutý v roce 1979 původně pro PLC. Stal se nejčastěji používaným protokolem v průmyslových aplikacích. Jedná se o protokol pracující na úrovni aplikační vrstvy ISO/OSI modelu, který využívá komunikaci master-slave. Jako komunikační médium se v dnešní nejčastěji používají sériové linky, například RS-232 nebo RS-485 nebo ethernet. Pro ethernet je potřeba do komunikace začlenit protokol TCP/IP.

### 3.2 Popis komunikace

Základem datového rámce protokolu je takzvané PDU (Protocol data unit), který je v závislosti na druhu komunikačního média začleněn do různé struktury ADU (Application data unit).



Obr. 3.1: Struktura rámce MODBUS zprávy

Prvním bytem je adresa slave zařízení. Může nabývat hodnot od 0 do 255, přičemž adresy 248-255 jsou vyhrazené. Druhý byte obsahuje kód funkce. Tyto funkce určují jak



a se kterými registry se má pracovat. Kódy jsou popsány v tabulce

Kód funkce	Popis funkce	Typ hodnoty	Typ přístupu
01(0x01)	Čtení DO	Diskrétní	Čtení
01(0x01)	Čtení DO	Diskrétní	Čtení
02(0x02)	Čtení DI	Diskrétní	Čtení
03(0x03)	Čtení AO	16 bitová	Čtení
04(0x04)	Čtení AI	16 bitová	Čtení
05(0x05)	Zápis do jednoho DO	Diskrétní	Zápis
06(0x06)	Zápis do jednoho AO	16 bitová	Zápis
15(0x0F)	Zápis do více DO	Diskrétní	Zápis
16(0x10)	Zápis do více AO	16 bitová	Zápis

**Tab. 3.1:** Přehled kódu pro čtení a zápis do registrů [3]

Po funkčním kódu následuje datový rámeček. Zde jsou obsažena požadovaná data. Přenášená data by neměla překročit 252 bytů. V některých případech se na prvním místě datového paketu vyskytuje informace o počtu bytů. Tato situace je v případě kdy slave odesílá masteru hodnoty registrů. Nebo z masteru přijde požadavek na zápis do více registrů.

Poslední dva byty obsahují kontrolní součet vycházející z normy CRC-16-IBM.

MODBUS narozdíl od mnoho komunikačních protokolů nemá ukončovací znak. Ukončení komunikace je zajištěno ukončovací mezerou o délce 3,5 znaku.

V případě že si slave zařízení nedokáže poradit s přijatými daty odesílá zpět chybové kódy, takovýto chybový kód má na místě funkčního bytu přijatou funkci zvětšenou o 0x80. Například 0x82 pro chybu při čtení diditální vstupů. Poté následuje příslušný chybový kód.

Chybový kód	Popis chyby
01	Přijatý kód funkce nelze zpracovat
02	Datová adresa uvedená v požadavku není dostupná
03	Hodnota obsažená v datovém poli dotazu je neplatná
04	Vyskytla se neodstranitelná chyba při pokusu zařízení slave o provedení požadovaného úkonu
05	Zařízení slave přijalo požadavek a zpracovává ho, ale trvá to dlouhou dobu. Tato odpověď brání hostiteli vygenerovat chybu časového limitu
06	Zařízení slave je zaneprázdněno zpracováváním příkazu. Master musí zprávu zopakovat později, až bude zařízení slave volné
07	Zařízení slave nemůže vykonat programovou funkci uvedenou v požadavku. Tento kód se vrací při neúspěšném požadavku programu prostřednictvím funkcí s čísly 13 nebo 14. Master si musí od zařízení slave vyžádat diagnostické informace nebo informace o chybě
08	Zařízení slave zjistilo chybu parity při čtení rozšířené paměti. Master může požadavek zopakovat, ale obvykle jsou v takových případech potřeba opravy

**Tab. 3.2:** Přehled chybových kódů [3]

# 4

## Sériová sběrnice RS-485

RS-485 je definice standartu sloužící k přenosu po sériové lince. Standart byl zveřejněn a je spravován dvěma americkými společnostmi. Telecommunications Industry Association a Electronic Industries Alliance (TIA/EIA). Proto bývá někdy tento standart označována TIA-485 nebo EIA-485. Největší výhodou sběrnice je velká vzdálenost přenosu bez opakovací a vysoká odolnost vůči rušení. Z tohoto důvodu se velmi často používá pro komunikaci v průmyslových aplikacích.

### 4.1 Popis a parametry RS-485

RS-485 využívá komunikace po dvou vodičích, kde je logická úroveň reprezentována rozdílovými napětími. Tyto vodiče jsou označeny A a B, přičemž A reprezentuje nižší napěťovou úroveň a B vyšší napěťovou úroveň. Jelikož se jedná o rozdílové úrovně, tak i v klidovém stavu je na signálech A a B napětí, typicky  $\pm 200mV$ . Při provozu bývá rozdílové napětí okolo  $\pm 2V$ , velikost záleží na délce vedení a velikosti terminačních odporů. Jelikož je toto napětí potřeba aby přijímač mohl pracovat diferenciální, je nutné dodržet dvě důležité podmínky:

- Napěťový rozdíl mezi zemí přijímače a zemí vysílače nesmí být větší než  $7V$
- Linka RS-485 musí být pro zajištění všech výhod sběrnice galvanicky oddělena

Na sběrnici lze za běžných okolností připojit až 32 zařízení, při použití opakováčů lze toto číslo zvýšit až na 256. Důležitým prvkem je terminační rezistor, který by měl odpovídat impedanci vedení kroucené dvoulinky, což je hodnota 100 - 120 ohm.

### 4.2 MODBUS na sběrnici RS-485

Vzhledem ke svým paramterům a odolnosti je tato sběrnice hojně využívána pro komunikační protokol MODBUS.

## 5

# Důvod návrhu kompaktního IO modulu

V současné době se v testerech používají moduly umístěné v rozvaděčích, ke kterým je potřeba při rozsáhlých projektech přivádět obrovské množství vodičů. Toto velké množství vodičů není estetické a zároveň snižuje přehlednost pro případné dohledávání chyb. Na základě poznatků a zkušeností vznikl nápad na vytvoření malých modulů, které budou umístěné na periférii a budou připojené na společnou sběrnici. Tím odpadne velké množství vodičů, jelikož bude stačit pouze jeden kabel, natažený od modulu k modulu.

# 6

## Postup při návrhu DPS a výběr vhodných komponent

### 6.1 Výběr hlavních komponent

Před samotným kreslením schématu je potřeba vybrat hlavní komponenty celého řešení. Nejprve bylo potřeba vybrat vhodný řídicí procesor. V původním návrhu bylo počítáno s moderním MCU ATmega3208 od společnosti Microchip. Bohužel v současné situaci, kdy je velký nedostatek polovodičů, je tento procesor nedostupný. Z tohoto důvodu jsem se rozhodl pro starší a v mnoho aplikacích používané MCU ATmega328P.

Další velmi důležitou částí řešení je napájení. Jelikož bude celé zařízení z vnějšku napájeno 24V a vnitřní komponenty pracují na 5V, je potřeba se rozhodnout jakým způsobem napětí snížit. Existují dva způsoby pro snížení napětí. První je napěťový stabilizátor a druhým je DC/DC měnič. Napěťový stabilizátor je velmi jednoduché a spolehlivé řešení. Jeho největší nevýhodou je, že při takhle velkém snižování napětí se úbytek napětí mění na teplo. Jelikož je při komunikaci počítáno s odběrem okolo 50mA, docházelo by k přeměně téměř 1W na teplo. Toto řešení není z důvodu úspory energie a vyššího tepelného namáhání modulu vhodné. Z výše zmíněných důvodů padlo rozhodnutí použít DC/DC měnič. Toto řešení je poněkud náročnější a při návrhu DPS je potřeba počítat s působením mnoha parazitních vlivů. Velkou výhodou je, že eliminuje nevýhody stabilizátoru napětí. Na trhu je velké množství měničů, já jsem se rozhodl pro dříve několikrát použitý a vyzkoušený měnič MCP16311-E/MS.

Poslední důležitou komponentou je převodník na sériovou linku RS-485. I zde je na trhu nezměrné množství převodníků, pracujících na různých napětích, umožňující různé rychlosti přenosu a s různou velikostí pouzdra. Jelikož u tohoto modulu je hlavním parametrem rozměr, rozhodl jsem se pro pouzdro MSOP8. V tomto pouzdře nejlépe vycházel převodník ADM3065EARMZ. Výhodou tohoto převodníku je nízký odběr a vysoké přenosové rychlosti. Největší nevýhodou je cena a jeho trvalá nedostupnost v poslední době. Pro použití tohoto projektu byl zapůjčen z jiného projektu.

Další komponenty jako oddělovací optočleny, pasivní součástky a ovládací prvky, byly vybírány v pouzdech a s rozložením vývodů tak, aby se i při současné situaci na trhu součástek daly snadno vyhledat náhrady.

## 6.2 Řešení konektivity

Nedílnou součástí řešení je konektivita. Jelikož modul má být snadno odpojitelný a připojitelný, rozhodl jsem se pro uchycení použít kolíkové lišty. Díky tomu je snadné připravit připojení k tlačítkovému modulu (viz obrázek xx).

Netěžší částí bylo vymyslet připojení napájení a komunikačních signálů. Od začátku bylo jasné, že v jednom kabelu musí být umístěno nejméně 6 vodičů. Dva napájecí vodiče, dva pro Modbus komunikaci, jeden vstupní řídicí signál a jeden výstupní řídicí signál. V prvních fázích se nejvýhodněji jevílo použít konektor RJ-12. Největší výhodou byla jeho snadná výroba a snadné připojení. Nakonec jsem se však rozhodl použít sice větší ale mnohem více rozšířený konektor RJ-45. Zde je výhodou možnost použití běžného síťového UTP kabelu a možnost koupit již vyrobený kabel.

Poslední připojení na desce, které bylo potřeba vyřešit, je konektor pro rozšiřující moduly. Zde byla volba poměrně jednoduchá. Jelikož komunikace s rozšiřujícími moduly poběží po protokolu I2C, padla volba na propojení plochými kabely a k nim odpovídající konektory (viz obrázek xx).

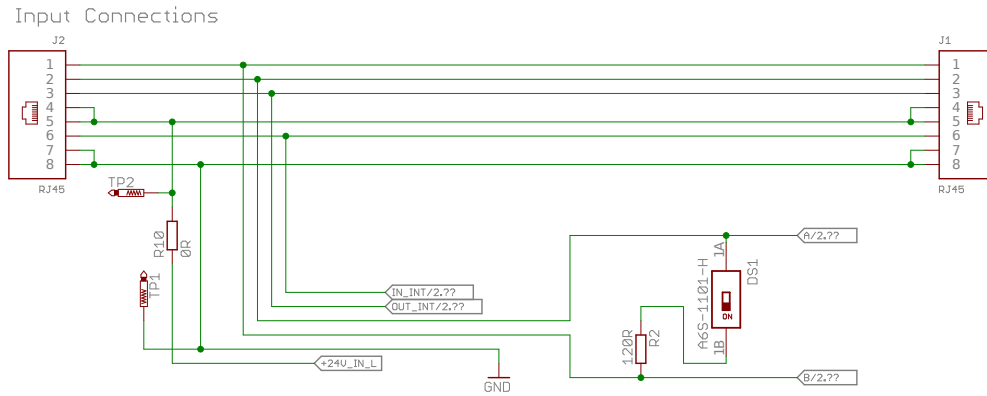
## 6.3 Schéma zapojení

Pro návrh elektrického schéma zapojení a desky plošného spoje jsem zvolil návrhový software Eagle. Software jsem si vybral, jelikož jsem s ním mnohokrát před tím pracoval a ve firmě FPC, která celou práci zašifuje, je dostupná licence. Kreslení schématu je nejprve potřeba rozdělit si do několika bloků pro větší přehlednost. Jednotlivé bloky jsou odděleny a popsány příslušnými nadpisy.

### 6.3.1 Popis funkce zapojení

První blok první strany schématu obsahuje připojovací konektory, které jsou sběrnicově propojeny a paralelně jsou k nim připojeny další bloky modulu. Tento blok obsahuje 3 důležité části. První jsou RJ-45 kontory, který slouží k připojení modulu, druhou částí je rezistor  $R10$ , které plní funkci pojistky a je díky němu možné odpojit celý modul od napájení a v neposlední řadě je to DIP switch DS1, který slouží k připojení terminačního odporu posledního modulu na sběrnici.

Druhý blok na této stránce je věnován napájení. Nachází se zde doporučené katalogové schéma pro DC/DC měnič MCP16311 doplněné o ochranou diodu. Zde je potřeba pečlivě prolistovat katalog a vyhledat vzorec pro výpočet indukčnosti výstupní cívky a



Obr. 6.1: Zapojení vstupních signálů

zpětnovazebních rezistorů. Pro výpočet indukčnosti výstupní cívky lze použít jednoduchý vzorec [6.1] nebo katalogovou tabulku [6.1] pro běžně používané hodnoty napětí. Jelikož je na výstupu měniče požadováno napětí 5V, lze z tabulky snadno vyčíst, že bude potřeba cívky s indukčností  $22\mu H$ . Kromě indukčnosti je dalším velmi důležitým parametrem cívky maximální zátěžový proud. Jelikož se nepočítá s velkými odběry proudu, byla zvolena cívka s zátěžovým proudem  $300mA$ . V katalogu se nacházejí také hodnoty zpětnovazebních rezistorů pro nominální hodnoty napětí. V tomto případě bude snadnější použít vzorec [6.2], který nám dovoluje využít rezistory z běžně dostupných řad. V první řadě je potřeba vycházet z známých hodnot, kterými jsou  $V_{OUT}$  a  $V_{FB}$ .  $V_{OUT}$  je jak již bylo zmíněno 5V a  $V_{FB}$  je katalogem daná hodnota 0.8V. Následně je třeba zvolit vhodnou hodnotu  $R_{BOT}$ . Lze zvolit hodnotu například  $10\Omega$ , přičemž výsledek bude desetinasobek poměru  $V_{OUT}$  a  $V_{FB}$  zmenšený o jedna nebo odpor mírně snížit na některou ze standardně dostupných hodnot a spočítat k ní odpovídající hodnotu  $R_{TOP}$ . Při zkoumání mi nejlépe vyšlo použít  $R_{BOT} = 6.2k$  a  $R_{TOP} = 33k$ . Při těchto hodnotách by v ideálních podmínkách mělo výstupní napětí nabývat hodnoty 5.058V. Poslední důležitou součástí, které je potřeba věnovat při návrhu měniče náležitou pozornost jsou vstupní kondenzátory. Zde je třeba zvolit kvalitní, keramické a napěťově co nejméně závislé kondenzátory. Vzhledem k frekvenci, na které měnič pracuje, je důležité, aby kvalitně kompenzovali napěťové špičky. V případě špatně zvolených kondenzátorů by mohlo dojít ke špatné funkci měniče.[10]

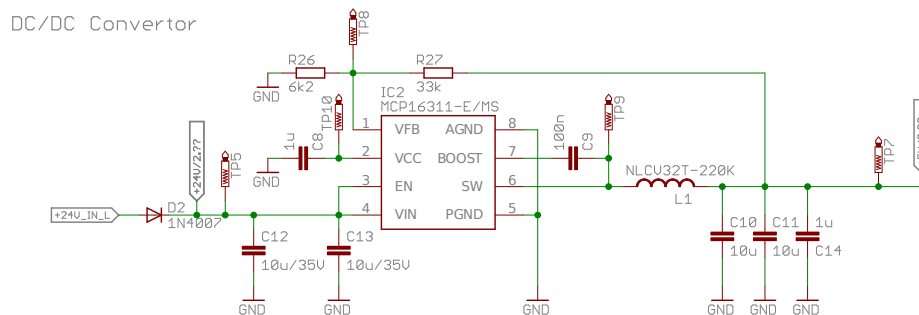
$$K = \frac{V_{OUT}}{L} \quad [-] \quad (6.1)$$

$$R_{TOP} = R_{BOT} \times \left( \frac{V_{OUT}}{V_{FB}} - 1 \right) \quad [\Omega] \quad (6.2)$$

Poslední blok první strany je věnován řešení vstupů a výstupů modulu. Pro vstupy jsou použity optočleny ACPL-244-500ES, jejichž největší výhodou je možnost použít libovolnou logiku a umístění čtyřech optočlenů v jednom pouzdře. Pro omezení proudu do optočlenů jsou použity rezistory s nominální hodnotou  $10k$ . Pro zajištění kvalitního rozpoznání aktivního vstupu jsou výstupní piny optočlenů, které jsou zavedeny přímo na

$V_{OUT}$	$K$	$L_{STANDARD}$
2V	0.20	$10\mu H$
3.3V	0.22	$15\mu H$
5V	0.23	$22\mu H$
12V	0.21	$56\mu H$
15V	0.22	$68\mu H$

**Tab. 6.1:** Doporučené hodnoty indukčností pro nominální hodnoty napětí měniče MCP16311 [10]

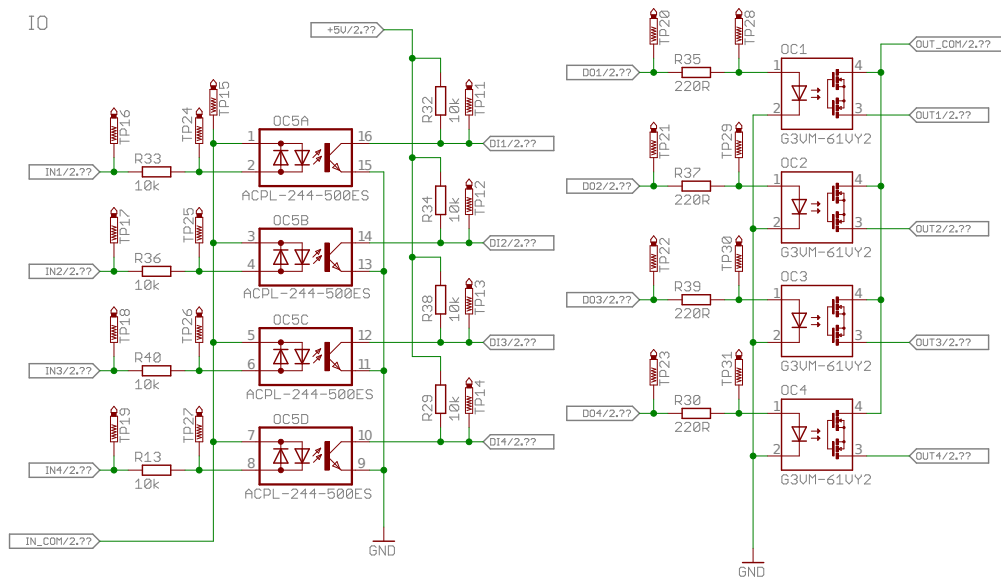


**Obr. 6.2:** Zapojení DC/DC měniče

porty procesoru opatřeny pull-up rezistory s nominální hodnotou  $10k$ . Jelikož u výstupních pinů je potřeba počítat s většími hodnotami proudů, rozhodl jsem se pro použití SSR relé G3VM61VY2, které stejně jako vstupní optočleny umožňuje použití libovolné logiky. Výstupy z procesoru jsou opatřeny rezistory pro omezení proudu s nominální hodnotou  $220R$ .

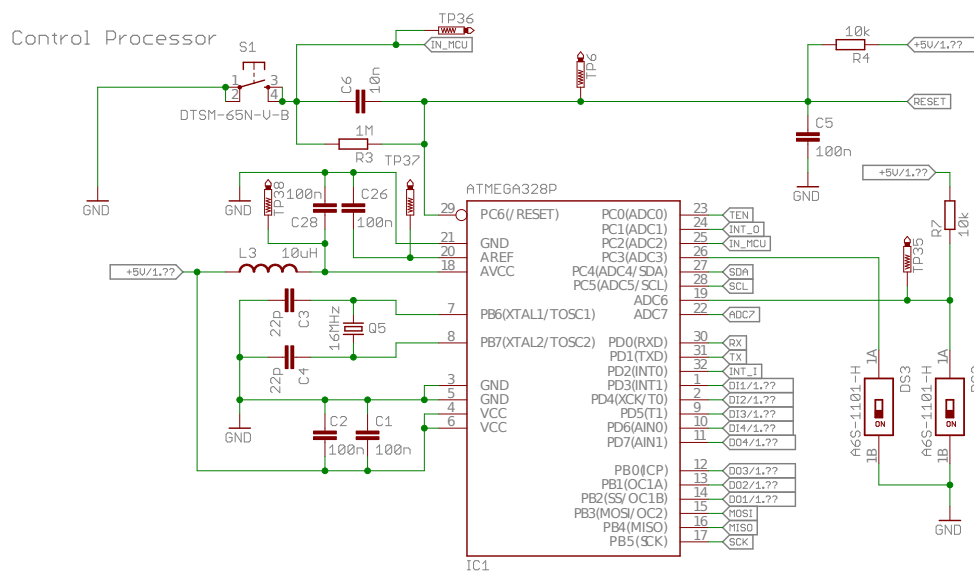
První polovina druhé strany je věnována hlavnímu mozku celého zařízení. A to řídicímu MCU a součástkám umožňujícím jeho správný chod. Nejprve je potřeba vyřešit napájení. Na piny VCC a GND je potřeba připojit napájecí napětí a filtrační kondenzátory, které slouží ke kompenzaci vysokofrekvenčních kmitů. Kondenzátory je zde potřeba umístit dva. A to z důvodu, že u některých MCU bývá umístění napájení na dvou různých stranách procesoru a je potřeba zajistit, že filtrační kondenzátor bude co nejbližší pinům MCU. V tomto případě jsou piny těsně vedle sebe, tak lze využít dvou kondenzátorů k umístění každého na jednu stranu PCB. Dále je potřeba umístit filtrační kondenzátor na pin AREF, sloužící jako referenční hodnota pro A/D převodník a LC článek na vstup napájení A/D převodníku pro potlačení šumu. Dalším prvkem je tlačítko pro reset procesoru. Pro správnou funkci je zde umístěn pull-up rezistor, filtrační kondenzátor a RC člen pro správnou reakci tlačítka. Z tlačítka je pro informaci o stisknutí vyveden signál na interrupt pin procesoru. Při návrhu zbyly na procesoru dva nevyužité piny. Pro správnou funkci zařízení by se neměli v zapojení nevyužité piny procesoru vyskytovat. První variantou ošetření je piny připojit přes pull-up rezistor na napájení nebo připojit na zem. Já jsem se rozhodl na tyto piny zapojit přepínače, které mohou být v budoucnu využity pro





Obr. 6.3: Zapojení IO rozhraní

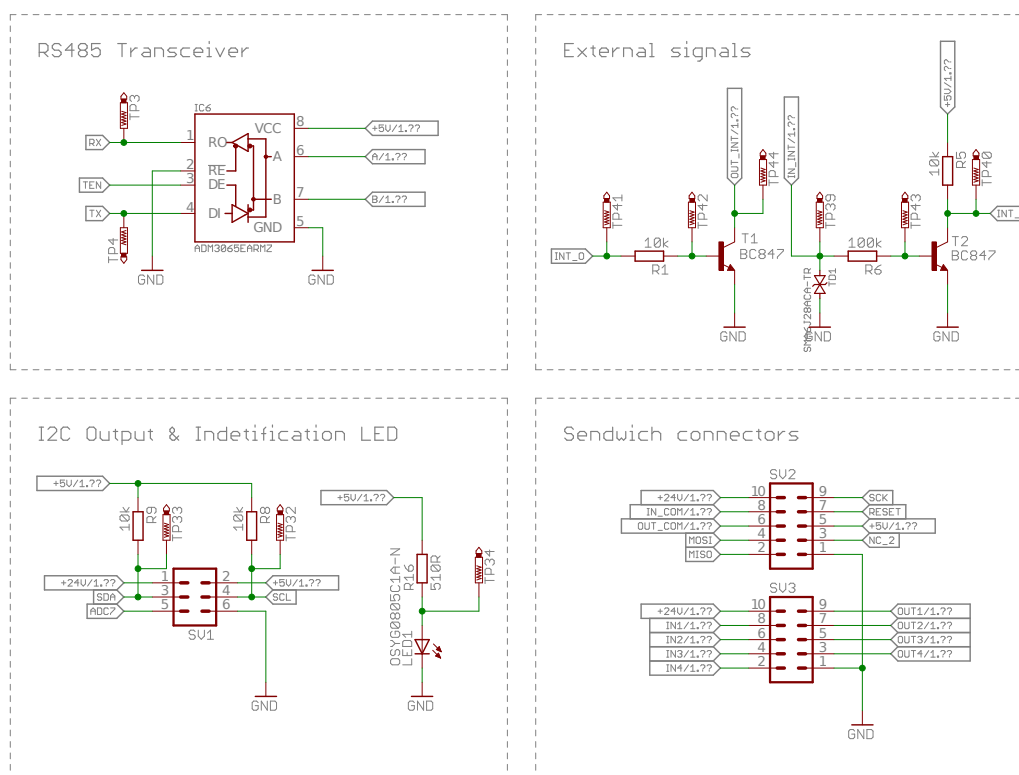
specifické nastavení modulu.



Obr. 6.4: Zapojení MCU

Druhá polovina druhé strany je rozdělena na čtyři bloky. V prvním bloku je převodník na sériovou sběrnici na RS-485. Do převodníku je přiveden UART z procesoru a na výstupu jsou diferenční signály A a B. Převodník má další dva ovládací vstupy. Vstupy jsou označeny  $\overline{RE}$ , který slouží k zapnutí přijímání a  $DE$ , který slouží k zapnutí vysílání. Jelikož je potřeba aby zařízení stále přijímalo, je vstup  $\overline{RE}$  připojen na zem. Vstup  $DE$  je přiveden na vstup procesoru, aby se dal zapnout pouze v případě, kdy je třeba odesílat data. Druhý blok řeší připojení externích signálů na piny procesoru. Externí signály jsou ovládány dvojicí NPN tranzistorů. Externí vstup je ošetřen TVS diodou pro případ, že by se na vstupním signálu objevilo vyšší než přípustné napětí. Poslední dva bloky obsahují

konektivitu.

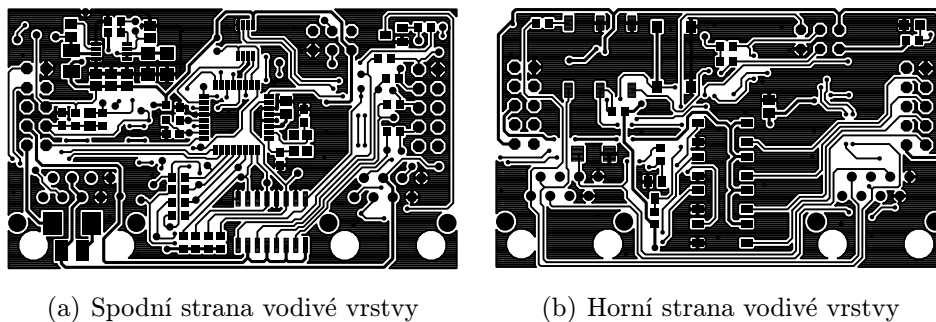


Obr. 6.5: Zapojení RS-485 převodníku, ovládání externích signálů a konektorů

## 6.4 Návrh DPS

Před návrhem je potřeba si rozmyslet rozměry DPS. Vzhledem k tomu, že plánované umístění modulu je na zadní stranu tlačítkového modulu IEC 60947-5-1, je potřeba rozměry přizpůsobit. Dle výkresu tlačítkového modulu jsem zvolil rozměry  $35\text{mm} \times 60\text{mm}$ .

Samotný návrh začneme rozmístěním součástek s pevným umístěním. Nejprve jsem tedy rozmístil připojovací konektory. Následně jsem propojil všechny propojení, které jsou sběrnicové a vedou přes celou desku. Následně jsem doprostřed spodní strany umístil řídicí procesor a na levou horní stranu ovládací prvky. Další důležitou částí je DC/DC měnič. Zde je potřeba dodržet co nejtěsnější umístění DC/DC měnič. Zde je potřeba dodržet co nejtěsnější umístění součástek okolo měniče. Lze vycházet z doporučeného zapojení v datasheetu, ale při dodržení všech pravidel lze navrhnout vlastní zapojení. I přestože deska bude mít rozlitou zem, pro zajištění co nejkratšího propojení země okolo měniče je potřeba zem zapojit ručně. Pokud by nebyla tyto pravidla dodržena, mohlo by dojít k nefunkčnosti měniče. Další součástky, pro které je důležité jejich umístění jsou filtrační kondenzátory a oscilátor okolo řídicího procesoru. I zde je důležité umístění co nejbližší k pinům procesoru. Poté rozmístíme ostatní součástky a provedeme propojení. Nakonec vytvoříme ve volných plochách rozlitou měď a zajistíme spojení všech míst se zemí.



**Obr. 6.6:** Vodivé vrstvy navržené desky plošných spojů

Po návrhu desky se v softwaru Eagle provede takzvaný DRC (Design Rule Check). Zde jsou nastaveny parametry výrobce DPS, které musí být dodrženy.

Nakonec je potřeba provést export dat potřebných pro výrobu. Tyto data se označují gerberly. Obsahují všechny informace potřebné pro výrobu desky.

# 7

## Realizace a výroba prototypu

Dříve by bylo výhodnější vyrobit si plošný spoj sám. Při dnešních cenách a kvalitě profesionální výroby, je výhodnější nechat si DPS vyrobit. Na trhu je spousta výrobců, kteří se tímto odvětvím zabývají.

### 7.1 Výběr výrobce PCB

Pokud budeme hledat výrobce v České republice je to například firma PragoBoard. Zde je velká výhoda ceny při objednání velkého množství kusů. Pro prototypovou výrobu se více vyplatí vybrat si některého výrobce z Asie. Například firma JLPCB nabízí velmi kvalitní desky za nízké ceny. Vždy je ale potřeba objednat 5 a více kusů. Cena se však pohybuje okolo 5 USD za 5 kusů do rozměru desky 100mm x 100mm. Jelikož mám již s tímto výrobcem bohaté zkušenosti byl nakonec jasnou volbou.

JLPCB má velmi pěkné prostředí pro nahrání dat a vytvoření náhledu. Je potřeba pouze dodržet správné pojmenování gerber souborů. Pokud je v podkladech nějaká chyba, kontrolní software na ni upozorní. Pokud je vše v pořádku, zobrazí se náhled desky a uživatel si může vybrat ze spousty možností, jak má finální výrobek vypadat. Například barva sítotisku, zda má být deska v panelu, tloušťka desky a mnoho dalších parametrů. Dodání desky trvá přibližně jeden týden a doprava je zdarma.

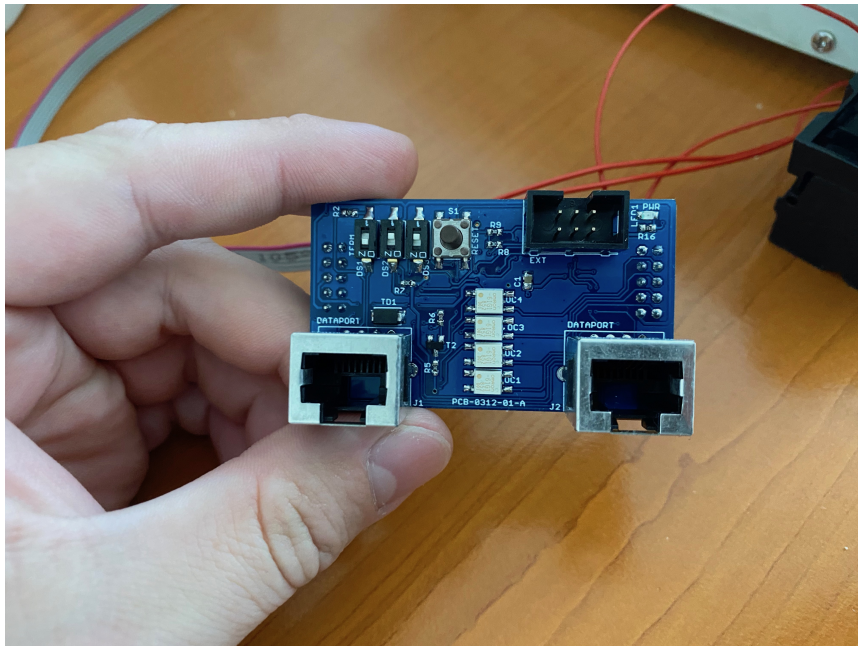
### 7.2 Nákup komponent

Nákup komponent je v dnešní době velmi náročný úkol. Nedostatek polovodičů na trhu způsobuje velmi dlouhé dodací lhůtu u některých součástek zejména u mikročipů. V mém případě byl největší problém u MCU ATmega328p. Dodací termín tohoto MCU se pohybuje od 50 do 53 týdnů. Výhodou tohoto procesoru je využít ve velkém množství aplikací, zejména na deskách Arduino. Jelikož nemalé množství těchto desek vlastním, nebyl problém si z jedné desky tento procesor vypůjčit. Dalším velkým problémem byl měnič MCP. Tento měnič je velmi hojně používaný, tudíž velmi těžko dostupný a náhrady se stejným

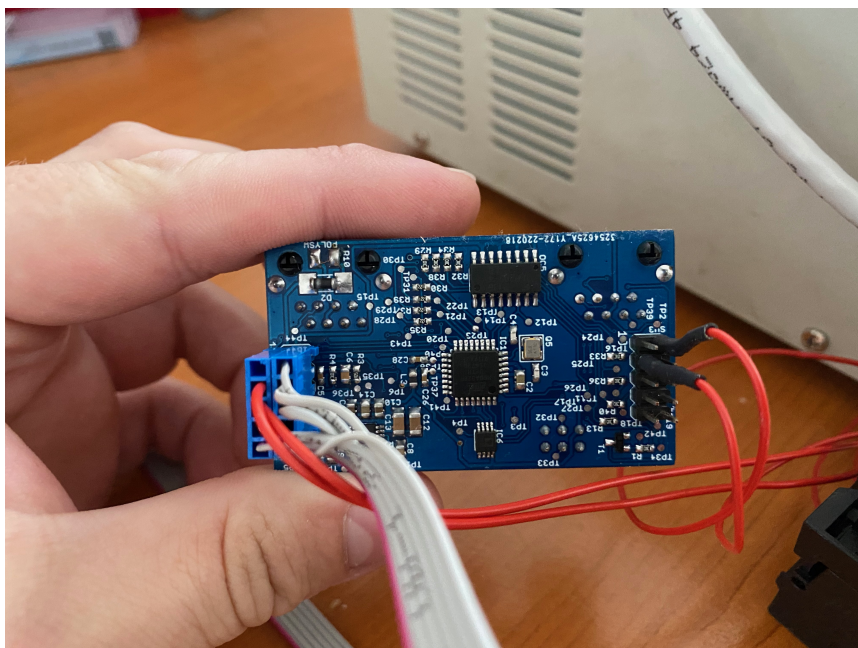
rozložením pinů a stejnými parametry neexistují nebo také nejsou dostupné. Zde bylo velkou výhodou, že tento měnič je hojně používaných ve starších revizích řídicích desek používaných firmou FPC a bylo možnou si z jedné z desek tento měnič vypůjčit. Poslední nedostupnou součástí je RS-485, zde byla chyba použít ADM3065EARMZ, který je také velmi těžko dostupný. Neštěstí se mi zde podařilo najít adekvátní náhradu. Pro odělovací optočleny a SSR relé jsem také musel vyhledávat náhrady. Zde je však situace poměrně jednodušší, jelikož je na trhu dostupných spousta součástek s podobnými parametry a rozložením pinů. Ostatní, zejména pasivní součástky jsou i v dnešní době dobře dostupné a není problém je běžně koupit.

### 7.3 Osazení komponent

Po doručení všech potřebných komponent a desky plošných spojů bylo možné přistoupit k osazení desky součástkami. Jelikož téměř všechny komponenty jsou SMD součástky je potřeba mít při pájení dostatek zkušeností. Pro zajištění kvalitního výsledku jsem se rozhodl využít toho, že projekt dělám za podpory firma FPC a desku si nechat osadit lidmi co s tím mají dostatek zkušeností. Výsledkem byla profesionálně osazená deska, u které se dalo snadno přistoupit k oživení. Jelikož nevíme, jestli měnič bude fungovat správně, je součástky, které jsou z měniče napájeny, lepší neosazovat a nejprve ověřit funkčnost měniče. Pokud bychom tento krok vynechali, mohlo by dojít k nevratnému poškození některých polovodičových součástek.



(a) Horní strana modulu



(b) Spodní strana modulu

**Obr. 7.1:** Vzhled modulu po osazení

# 8

## Oživení prototypu

Pro oživení a následné programování bylo potřeba vyrobit několik kabelů. Prvním byl napájecí a komunikační UTP kabel s nakrimpovaným RJ-45 konektorem na jedné straně a volným konci, které se dají dále připojit na druhé straně. Druhý kabelem je plochý kabel s konektorem, který je na jedné straně možné připojit na kolíkovou lištu a na druhé straně do AVR programátoru. Poslední skupinou jsou dráty s konektory, které jsou zapojeny na IO a je možné díky nim sledovat chování na těchto pinech.

### 8.1 Kontrola napájení

Před připojením modulu k napájení je potřeba zkontrolovat, jestli mezi napájecími větvemi nebo zemí nejsou nějaké zkratky, které by mohli způsobit poškození součástek. Pokud tato kontrola projde v pořádku je možné připojit zařízení k napájení. Následně provedeme změření výstupního napětí na měniči. Zjistil jsem, že oproti předpokládaným 5.058V je napájecí napětí mírně nižší a to 4,958V, což je po započítání možných výrobních tolerancí součástek a parazitních vlivů velmi přijatelná hodnota. Po tomto testu bylo možné přistoupit a osazení desky polovodičovými součástkami napájenými z této větve. V tomto případě se jednalo o mikročip ATmega328P a RS-485 převodník. Zařízení jsem opět proměřil na zkratky a jelikož vše prošlo v pořádku bylo možné desku připojit k napájecímu napětí.

### 8.2 Vývojové prostředí

Programování procesorů AVR je možné dvěma základními způsoby. První možností je psát v přímo v nízkourovňovém programovacím jazyce jakým je Assembler. Programování v tomto jazyce umožňuje přímý přístup k perifériím, tudíž je možné docílit velké optimalizace výsledné aplikace. Pro menší aplikace, které musí zabírat co nejméně místa je velmi výhodné i přes náročnost programování tento jazyk použít. Pro rozsáhlejší projekty je však lepší využít některé z vývojových prostředí, ve kterém je možné programovat

v jazyce C. Pro programování mikroprocesorů ATmega se nejvíce hodí Atmel (nyní Microchip) Studio. Toto prostředí je založeno na Visual Studiu od společnosti Microsoft, čímž přebírá spoustu užitečných funkcí, které usnadňují tvorbu aplikace. Dále obsahuje všechny potřebné knihovny, které slouží k ovládání periférií mikrokontroleru a v neposlední řadě má integrované drivery umožňující programování.

## 8.3 Připojení desky k programátoru a první testovací aplikace

Při vytváření nového projektu je nejprve potřeba zvolit správný typ procesoru. Po vytvoření projektu je potřeba provést několik nastavení. Hlavním je nastavit správnou frekvenci oscilátoru, v našem případě 16MHz. Poté připojíme desku k AVR programátoru. V mém případě se jedná o programátor JTAGICE3. Tento test prošel v pořádku a díky tomu bylo možné přistoupit k prvním jednoduchým aplikacím, kterými jsem otestoval správnou funkčnost modulu.

Pro test výstupů jsem použil jednoduchou funkci, která bude blikat LED diodou připojenou na výstup mikročipu. Tuto funkci vytvoříme pomocí jednoduchých příkazů *write* a *\_delay\_ms*.

```
write(OUT1, 1);
_delay_ms(250);
write(OUT1, 0);
_delay_ms(250);
```

Pro test funkce vstupů jsem použil připojené tlačítko na vstup a již připojenou LED diodu. Tuto funkci vytvoříme pomocí funkce *read* a *write*.

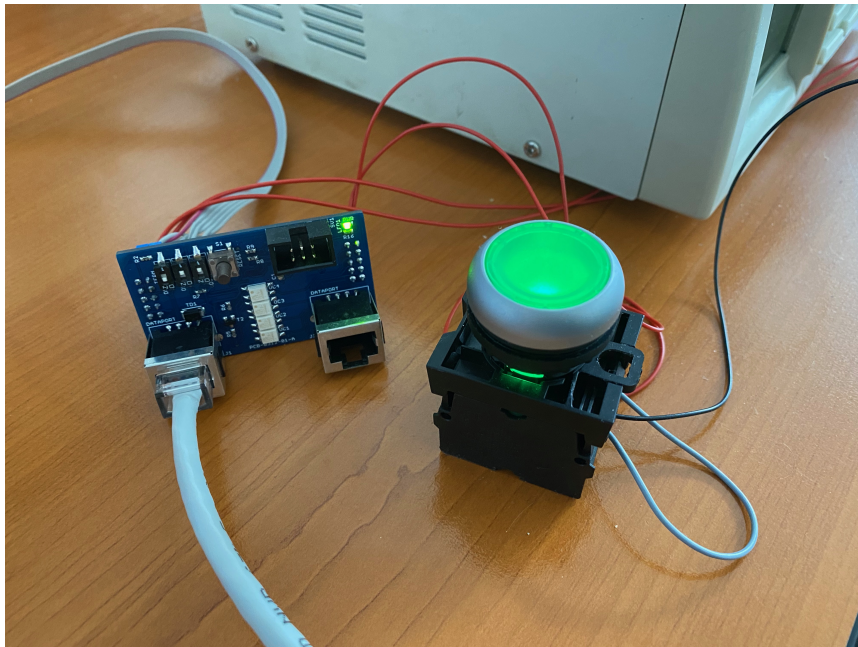
```
if(!read(OUT1))
    write(OUT1, 1);
else
    write(OUT1, 0);
```

Pro test komunikace jsem použil převodník ze sběrnice RS-485 na USB a program Herkules který slouží ke čtení a zápisu hodnot na sériovou sběrnici. Díky tomu bylo možné ověřit jestli převodník na modulu funguje správně a je správně zapojen. Nakonec stačí provést inicializace UART komunikace a použít zápis do registru *UDR0*, který zajistí odeslání bytu na sběrnici.

```
write(TEN, 1);

while(!(UCSROA & (1<<UDRE0)));
UDRO = 'a';
while(!(UCSROA & (1<<TXC0)));
```





**Obr. 8.1:** Ukázka zapojeného modulu při testování funkčnosti

# 9

## Software pro IO modul

Celý projekt je rozložen do několika samostatných souborů a knihoven, tak aby byla zvýšena přehlednost celého programu. V hlavním souboru se nachází pouze metody pro inicializaci komponent a samotná smyčka pro běh programu. Další částí jsou knihovny s deklaracemi hlavních proměnných a definicemi, knihovna pro obsluhu pro funkce obsluhující piny procesoru a nakonec soubor s funkcemi pro obsluhu komunikačního protokolu MODBUS.

### 9.1 Knihovny

První z knihoven se jmenuje *ioctl.h*. Tato knihovna je převzatá a obsahuje funkce pro obsluhu definice pro snadné nastavení a obsluhu pinů. Pro náš projekt je jsou nejdůležitější 4 funkce z této knihovny. Funkce *setout* a *setin* nastaví vlastnost daného pinu. Parametrem funkcí je port a číslo pinu. Další dvě důležité funkce, které potřebujeme jsou *read* a *write*. Díky nim lze zapsat na konkrétní pin hodnotu stavu nebo přečíst stav na konkrétním pinu. I když se nejedná o složité definice, lze díky těmto jednoduchým funkcím velmi zpřehlednit výsledný kód. Druhá knihovna je *iodef.h*. Zde se nacházejí definice konkrétních pinů a deklarace některých globálních proměnných. Knihovna *std.h* obsahuje pouze přejmenování proměnných *unsigned char* a *unsigned int* na *uin* a *uchar*. Tyto definice také slouží k vytvoření přehlednějšího a kratšího kódu. Poslední knihovnou je *MODBUS.h*. Tyto knihovna obsahuje definice, proměnné a metody pro obsluhu a zpracování MODBUS komunikace.

### 9.2 Obsluha MODBUS komunikace

V tomto souboru jsou obsaženy všechny důležité metody pro obsluhu komunikace. Jsem zde dvě hlavní metody *recieve\_task* a *send\_task*. Funkce *recieve\_task* slouží ke zpracování přijatých dat. Po deklaraci potřebných proměnných je zde hlavní podmínka, která ověří, jestli je přijatá zpráva pro tento modul. Pokud ne, provede se pouze vyčištění bufferu, kde jsou uložena přijatá data a žádná funkce se nevykoná. Pokud ano ověří se, který z

funkčních příkazů se má vykonat. Jak již bylo zmíněno v protokolu MODBUS je těchto příkazů celkem osm. Všechny funkce mají podobnou strukturu. Nejprve se provede ověření některých přijatých dat tak, aby bylo zajištěno že je možné s daty pracovat. Pokud jakákoli z podmínek nebude splněna, dojde k nastavení chybového kódu, který na konci metody odešle zpět chybovou hlášku. Po splnění všech podmínek se vykoná samotná funkce, která na konci odešle zpět odpověď. Přijímací metoda obsahuje všechny funkční kódy tak, aby bylo zajištěno že modul správně odpoví na kterýkoli z dotazů. Pro funkci modulu jsou v současném řešení použita pouze polovina funkcí sloužící k práci s diskrétními registry. Funkce pro práci s analogovými registry, které jsou v metodě obsaženy, jsou připraveny pro budoucí použití.

Funkce pro práci s přijatými daty jsou v metodě *recieve\_task* seřazeny chronologicky podle kódu funkce. První dvě funkce slouží pro odeslání hodnot digitálních vstupů a výstupů z diskrétních registrů, jsou téměř identické. Nejprve se zjišťuje kolik je potřeba přečíst bitů z registrů a na základě této informace se vybere kolik bytů se má poslat zpět. Poté se naplní buffer s daty pro odeslání hodnotami v daných registrech. Nakonec se všechny tyto informace předají metodě *send\_task*.

Dalšími dvěma funkcemi, které jsou v modulu používány jsou zápisy do diskrétních registrů a to ať zápis do konkrétního výstupu nebo pouze do jednoho. V případě zápisu do jednoho registru nejprve proběhnou všechny ověřovací procedury, jak již bylo zmíněno v minulém odstavci. Poté se ověří jestli se má výstup nastavit do stavu 1 nebo 0. Nakonec se na základě těchto informací provede zápis do příslušného registru a pomocí proměnné *is\_change\_out* se předá řídicí funkce informace, že v registrech došlo ke změně. Stejně jako v předchozím případě se i zde po úspěšném provedení funkce odešle odpověď pomocí funkce *send\_task*.

Kód níže ukazuje funkci pro naplnění bufferu hodnotami digitálních vstupů uložených v diskrétních registrech.

```
data_array[0] = 0x01;

if (no_of_register > 8)
{
    data_array[0] = 0x02;
}
if (no_of_register > 16)
{
    data_array[0] = 0x03;
}
if (no_of_register > 24)
{
    data_array[0] = 0x04;
}

uint no_of_bytes = (uint)data_array[0];
data_array[1] = digital_in[0];
data_array[2] = digital_in[1];
data_array[3] = digital_in[2];
data_array[4] = digital_in[3];

send_task(READ_DI, no_of_bytes + 1, data_array);
```

Metoda *send\_task* je oproti *recieve\_task* poměrně jednoduchá. V první řadě jsou zde deklarovány potřebné proměnné. Poté se provede vyčištění bufferu pro odeslání dat tak, aby nedošlo ke kolizi některých informací a data se poslala správně. Poté se buffer naplní podle zadaných parametrů a vytvoří se dva byty ve kterých je obsažen checksum. Nakonec se provede odeslání dat. Zde je potřeba myslet na několik důležitých věcí, aby odesílání správně fungovalo. Na začátek je potřeba zapnout pin, který povolí odesílání převodníku, poté se vypne RX pin procesoru, vzhledem k tomu že přijímací pin převodníku je natrvalo uzemněn, pokud bychom tento krok neudělali, data by se vracela zpět a převodník by se tím zahltlil. Samotné odesílání je jednoduchý cyklus, který ověří že je buffer s daty volný, pošle se příslušný byte z bufferu a počká se než dojde k odeslání bytu. Po odeslání celého bufferu se vypne pin, který povoluje odesílání a znova se zapne přijímání. Celou funkci lze vidět níže.

```

write(TEN, 1);
UCSROB &= ~(1<<RXEN0);

for (int i = 0; i < lenght_sended_data; i++)
{
    while(!(UCSROA & (1<<UDRE0)));
    UDRO = tx_data[i];
    while(!(UCSROA & (1<<TXCO)));
}

write(TEN, 0);
UCSROB |= 1<<RXEN0;

```

Soubor obsahuje ještě několik podpůrných metod, bez kterých by nebylo možné správně s daty pracovat. První z nich je metoda *check\_crc*, která slouží pro počítání checksum. Funkce využívá definice CRC-16-IBM, který je popsán v tabulce [x.y]. Návratovou hodnotou této metody je 16 bitové číslo se kterým se následně dále pracuje.

Další metody už jsou poměrně jednoduché a slouží spíše ke zpřehlednění kódu. Jsou to dvě inverzní funkce. Metoda *make\_nt* vytváří ze dvou 8 bitových hodnot dvě 16 bitové a metoda *get\_hb\_lb* má za úkol obrácený proces. Nakonec jsou zde metody *flush\_rx\_data* a *flush\_tx\_data* které složí pro vyčištění bufferů ve kterých jsou obsažena data pro přijímání a odesílání.

### 9.3 Hlavní funkce programu

Hlavní metodou celého programu, která se volá při zapnutí je metoda *main*. Nejprve jsou zde volány metody pro inicializaci pinů, inicializace sériové komunikace pro UART a vyčištění registrů. Následně se provede aktivace přerušení. Poté už program vstupuje do nekonečné smyčky, ve které se ověřuje, jestli se přijali data, pokud ano vykoná se metoda *recieve\_task*. Následně se ověří, jestli neproběhla změna vstupech nebo nebyla zapsána nová hodnota do registrů pro výstupy. Poté se celá smyčka opakuje.

K provedení inicializace uart komunikace je potřeba důkladně prostudovat dokumentaci k mikročipu. Jsou zde informace a názvy jednotlivých registrů ve kterých jsou uloženy parametry sériové komunikace. Nejprve se provádí nastavení rychlosti komunikace. Toto nastavení je obsaženo v registru *UBRR0H* a *UBRR0L*. V tabulce pro rychlosti komunikace při 16 MHz nalezneme hodnotu, která pro zvolenou přenosovou rychlost. V našem tomto případě je komunikační rychlost 115200bps což odpovídá hodnotě 8. V našem případě je pro zmenšení chybovosti nastavena v registru *U2X0* dvojnásobné rychlost. V tomto případě je tato hodnota 16. Další nastavení je pro 8 bitové slovo, tato hodnota odpovídá nastavení registrů *UCSZ01* a *UCSZ02* do hodnoty 1. V posledním kroku povolíme přijímání a vysílání sériové komunikace a přerušeni na přijímacím pinu. Toto nastavení odpovídá hodnotám 1 v registrech *RXEN0*, *TXEN0* a *RXCIE0*.

```
void uart_init()
{
    UBRR0H = 0;
    //115200
    UBRR0L = 16;
    // double speed
    UCSROA = 1<<U2X0;
    // 8bit
    UCSROC = 1<<UCSZ01 | 1<<UCSZ00;
    // enable receiver, rx interrupt
    UCSROB = 1<<RXEN0 | 1<<TXEN0 | 1<<RXCIE0; // | 1<<TXCIE0;
}
```

Pro správné přijímání dat je potřeba definovat funkci, která se vykoná při aktivaci přerušeni na RX pinu. Tato funkce se definuje v takzvaném ISR. Pro RX pin je to funkce *ISR(USART\_RX\_vect)*. První co se vykoná je přečtení bytu v registru sériové komunikace. Následně se tento byte zapíše do bufferu. Poté je zde několik ověření, které zajistí že se vždy přijme správný počet bytů. Pokud je dosaženo správného počtu přijatých bytů, aktivuje se příznak, který zajistí vykonání zpracování dat v hlavní funkci.

```
ISR(USART_RX_vect)
{
    rx_byte = UDR0;
    rx_data[cnt_rx] = rx_byte;

    if((cnt_rx == 1) && ((rx_byte == 0x0F) || (rx_byte == 0x10)))
        cahnge_data_lenght = 1;

    if((cnt_rx == 6) && (cahnge_data_lenght == 1))
    {
        cahnge_data_lenght = 0;
        modbus_data_lenght = 9 + rx_byte;
    }

    cnt_rx++;

    if (cnt_rx == modbus_data_lenght)
    {
        check_rx_data = 1;
    }
}
```

Poslední dvě důležité metody slouží ke čtení hodnot na vstupech a zápisu hodnot na výstupy. V metodě *check\_inputs* se provede kontrola jestli došlo ke změně na vstupech a poté

se hodnota ze vstupů přímo překlopí do registru vstupů. V metodě *check\_output\_state* se ověří jestli není aktivní příznak změny ve výstupních registrech a pokud ano dojde k propsání hodnot z registru na výstupy.

# 10

## Aplikace softwaru a test funkce

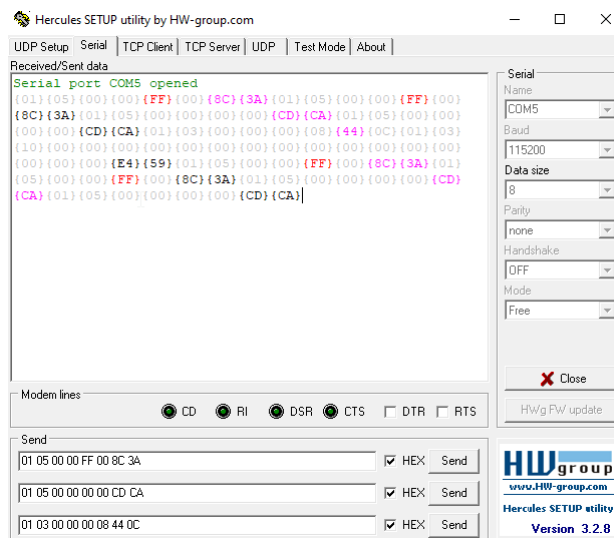
Před aplikací software jsem k zařízení připojil Všechny předem připravené periferie. V první řadě tlačítkový modul se signalizační LED diodou a poté také programovací a komunikační kabel. Pro komunikaci jsem použil převodník z RS-485 na USB, který v počítači vytvoří virtuální sériová port se kterým lze komunikovat. Pro napájení jsem použil regulovatelný zdroj Manson, na kterém jsem nastavil vstupní hodnotu 24V.



**Obr. 10.1:** Převodní RS-485 na USB od firmy PremiumCord [9]

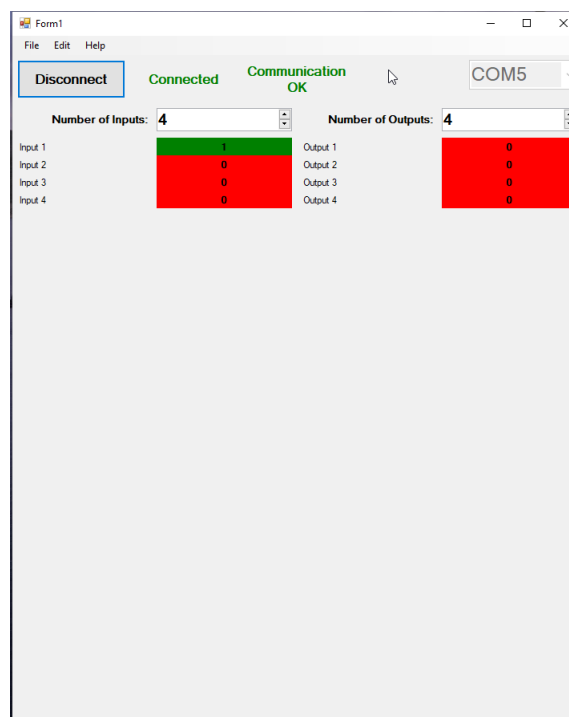
Pro prvotní komunikaci jsem použil software Hukrules, kterým lze na sériový port posílat data. Díky tomu jsem dokázal ověřit správnou funkčnost zápisu a čtení registrů. Pro zapnutí jsem použil příkaz `0x01 0x05 0x00 0x00 0xFF 0x00 0x8C 0x3A`, který slouží k zapsání hodnoty 1 do nulté pozice registru digitálních výstupů. Čímž se rozsvítila LED dioda připojená na výstup 1. Příkaz pro vypnutí je velmi podobný jen se hodnoty FF změni na 00. Příkaz tedy poté vypadá `0x01 0x05 0x00 0x00 0x00 0x00 0x30 0x14`.

Pro důkladnější testování bylo potřeba požit složitější aplikaci. Jelikož plno kvalitní komunikačních rozhraní je placených nebo nevyhovovali mým požadavkům, rozhodl jsem se, vytvořit si vlastní jednoduchou komunikační aplikaci. Tato aplikace dokáže sekvenčně posílat dotaz na stav registrů s digitálními vstupy a současně také zapsat hodnotu do



Obr. 10.2: Ukázka zkoušky komunikace pomocí softwaru Herkules

digitálních výstupů. Je v ní možné vybrat do kolika registrů zapisují a z kolika registrů chci číst informaci.



Obr. 10.3: Ukázka vlastního softwarového řešení pro komunikaci s modulem



# 11

## Tvorba výrobní dokumentace

Pro možnost zařízení seriově vyrábět je potřeba zajistit kvalitní výrobní dokumentaci, které bude obsahovat všechny soubory potřebné pro výrobu a také postupy.

Výrobní dokumentace musí obsahovat schéma zapojení celého zařízení, gerber data pro výrobu DPS, seznam použitých součástek (tzv. BOM), rozložení součástek pro osazení a nakonec .hex soubor ve kterém jsou obsažena data které se mají do zařízení naprogramovat.

# 12

## Plán na další revize zařízení a možnost rozšiřujících modulů

Modul vyrobený v rámci této práce je pouze prototypem a vzhledem k současné situaci na trhu bylo potřeba s výběrem součástek místy velmi improvizovat. Proto příští revize tohoto modulu budou místy velmi pozměněné. První změnou bude výměna převodníku RS-485, pro potřeby tohoto modulu se vzhledem k ceně a dostatku místa zvolí více dostupný a hojně rozšířený převodník MAX485. Druhou velkou změnou bude výměna procesoru za moderní Atmega3208, v tomto případě půjde o rozsáhlejší zásah do modulu a programu. Pro pozdější vývoj však velmi usnadní práci.

Pro modul je plánováno množství rozšiřujících modulů. Pro tento případ je modulu připraven konektor na který je vyvedena sběrnice I2C. Díky tomu je možné přidat více vstupů a výstupů nebo moduly pro měření veličin s A/D převodníky.

Pro umístění modulu na zadní stranu tlačítkového modulu jsou plánovány dvě malé desky se třemi vývody a kolíkovou lištou, který se našroubují do modulu a IO modul se na ně následně nacvakne. Jelikož může být tlačítek více sebe je výhodnější umístit modul s procesorem na jedno z nich a na další použít rozšiřující modul na kterém bude pouze napájení a I2C převodník z digitálního vstupu nebo výstupu.

Další umístění může být na měřících nebo zakládacích modulech pro kabelové svazky, které se v testerech běžně vyskytují. Zde se vzhledem ke konstrukci pouze jednoduše nacvakne na zadní stranu modulu. V některých případech je v těchto modulech přímo hlídat některou veličin. Z tohoto důvodu je výhodné mít připraven modul s A/D převodníkem který bude tuto veličinu měřit.

V neposlední řadě je připraven programovací modul. Při sériové výrobě je potřeba moduly velmi snadno programovat. Z tohoto důvodu bude připraven modul na který se hlavní modul pouze nacvakne a spustí se programování.

# 13

## Závěr

Cílem této práce bylo vytvořit kompaktní IO modul schopný pracovat na komunikačním protokolu MODBUS. Z velké části se podařilo vytvořit funkční řešení, které sice má svá omezení, ale pro odladění těchto nedostatků by bylo potřeba delší testování, které nebylo vzhledem k časovému omezení možné.

Po hardwarové stránce se podařilo vytvořit prototyp, který splňuje téměř všechny požadavky. Z důvodu většího množství nedostupných součástek bylo potřeba shánět spoustu náhrad a občas i velmi improvizovat. Toto řešení není z ekonomické stránky příliš výhodné a v této oblasti je potřeba provést jistou optimalizaci, tak aby bylo možné řešení nasadit do skutečného provozu.

Na ladění softwaru nebylo příliš mnoho času, proto má určité nedostatky, které je potřeba do budoucna odladit. Jako hlavní nedostatek vnímám nemožnost testování chování při více zapojených modulech. Celé testování aplikace probíhalo na simulované komunikaci, kde na jedné straně byl modul a na druhé převodník z RS-485 na USB, díky kterému je možné zařízení připojit k počítači a za pomoci aplikací testovat chování.

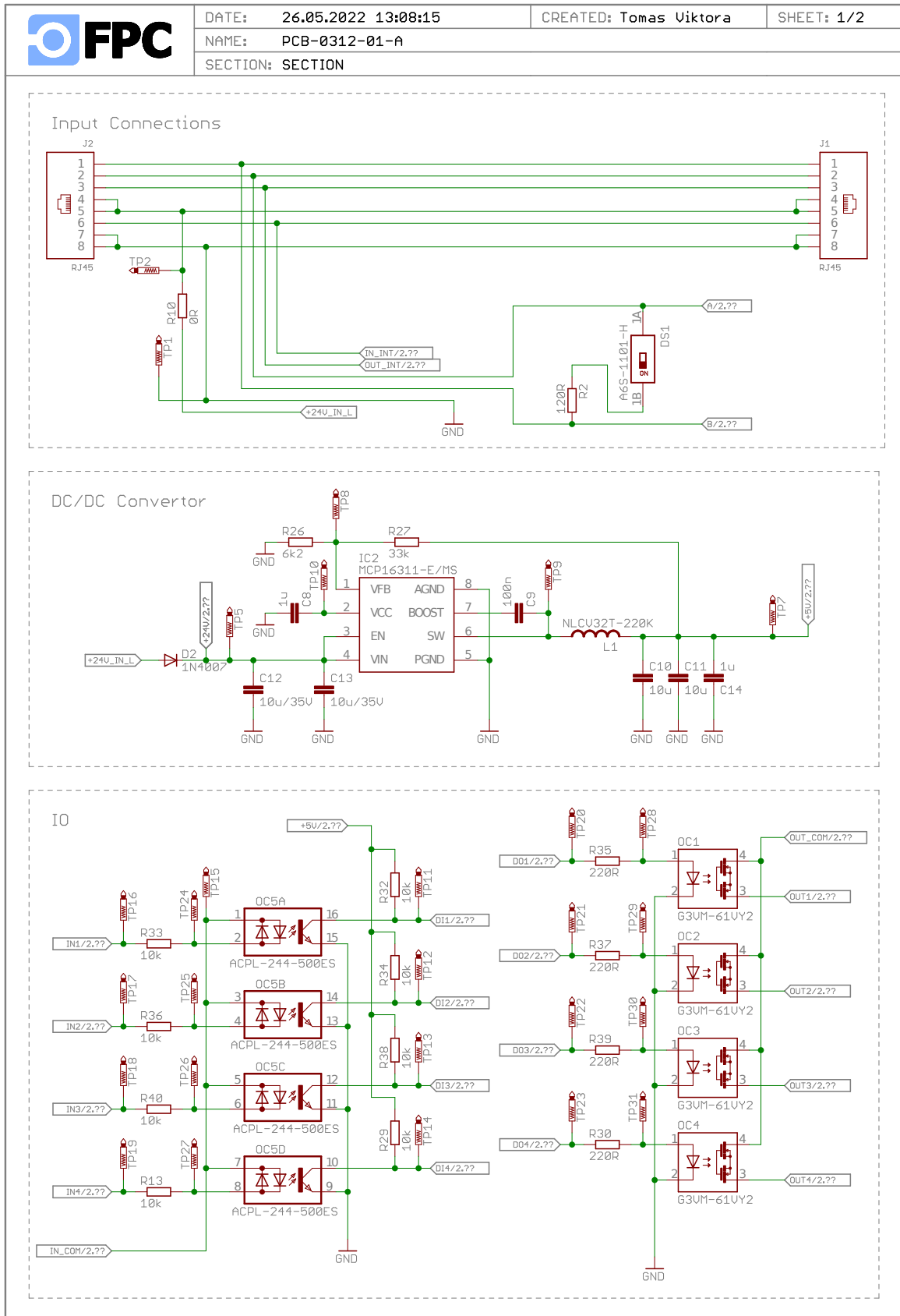
# Literatura

- [1] Modbus. In: Wikipedia: the free encyclopedia [online]. San Francisco (CA): Wikimedia Foundation, 2001- [cit. 2022-05-26]. Dostupné z: <https://en.wikipedia.org/wiki/Modbus>
- [2] RS-485. In: Wikipedia: the free encyclopedia [online]. San Francisco (CA): Wikimedia Foundation, 2001- [cit. 2022-05-26]. Dostupné z: <https://en.wikipedia.org/wiki/RS-485>
- [3] Protokol Modbus RTU v kostce (s podrobnými popisy a příklady) [online]. [cit. 2022-05-26]. Dostupné z: <https://ipc2u.cz/blogs/news/protokolu-modbus-rtu-v-kostce-s-podrobnymi-popisy-a-priklady>
- [4] Tedia MU-3222A [online]. [cit. 2022-05-26]. Dostupné z: <https://www.tedia.cz/produkty/mu322xa-mu325xa.html>
- [5] Advantech PCIE-1730 [online]. [cit. 2022-05-26]. Dostupné z: <https://www.advantech.com/products/1-2mlkb0/pcie-1730/mod`6d7a4820-cf93-4f6b-bc3a-09d4e1ca62bc>
- [6] Advantech PCIE-1730 Datasheet [online]. [cit. 2022-05-26]. Dostupné z: <https://advdownload.advantech.com/productfile/PIS/PCIE-1730/Product%20-%20Datasheet/PCIE-173020180910101824.pdf>
- [7] ATmega328P Datasheet [online]. [cit. 2022-05-26]. Dostupné z: <https://ww1.microchip.com/downloads/en/DeviceDoc/Atmel-7810-Automotive-Microcontrollers-ATmega328P`Datasheet.pdf>
- [8] Cyclic redundancy check. In: Wikipedia: the free encyclopedia [online]. San Francisco (CA): Wikimedia Foundation, 2001- [cit. 2022-05-26]. Dostupné z: <https://en.wikipedia.org/wiki/Cyclic`redundancy`check>
- [9] PremiumCord USB - USB2.0 na RS485 adapter [online]. In: . [cit. 2022-05-26]. Dostupné z: <https://www.czc.cz/premiumcord-usb-usb2-0-na-rs485-adapter/80182/produkt>

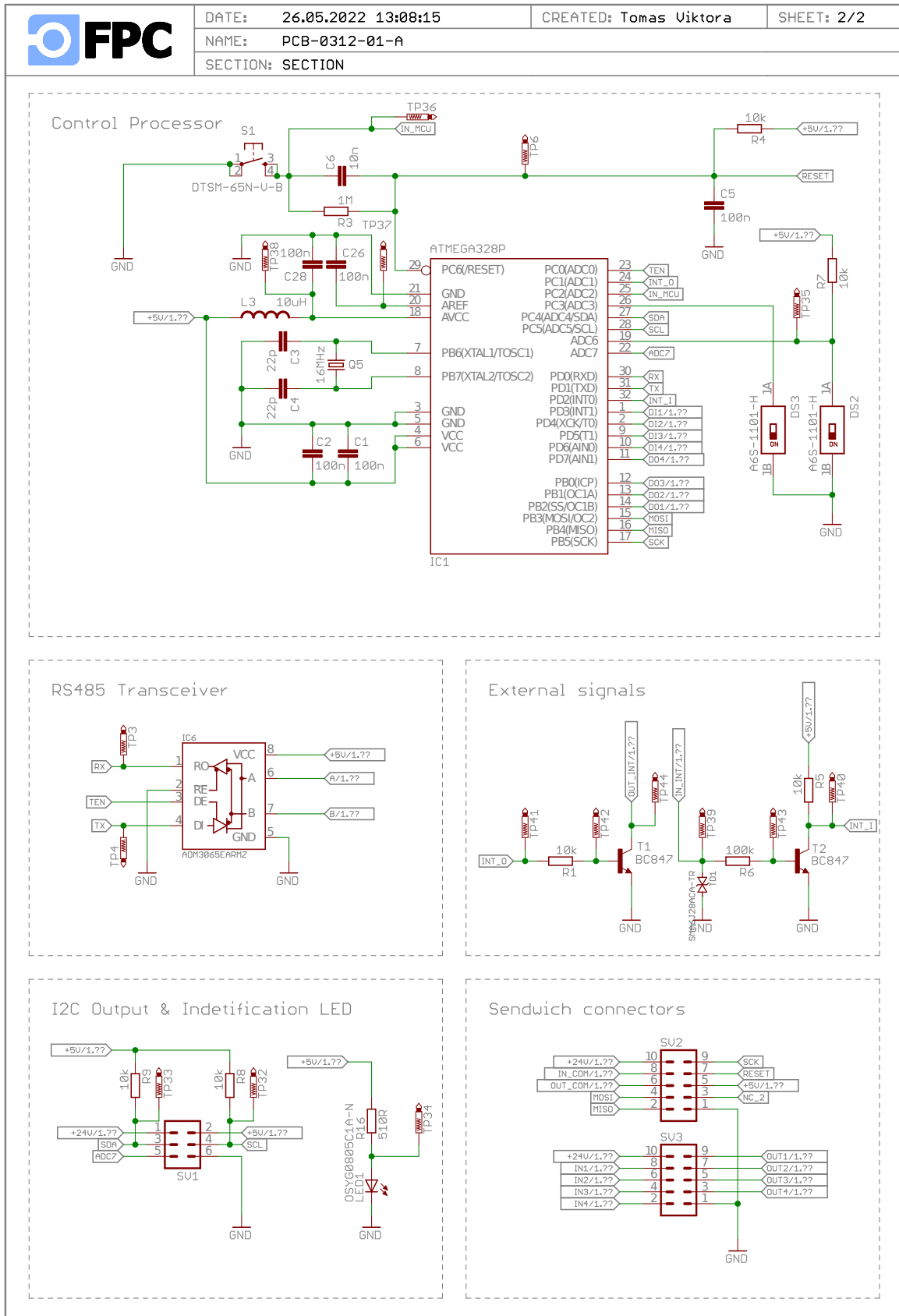
- [10] MCP16311 Datasheet [online]. [cit. 2022-05-26]. Dostupné z:  
<https://ww1.microchip.com/downloads/aemDocuments/documents/APID/ProductDocuments/30V-Input-1A-Output-High-Efficiency-Integrated-Synchronous-Switch-Step-Down-Regulator-DS20005255D.pdf>

# Příloha A

## Schémata zapojení



Obr. A.1: Schéma zapojení 1

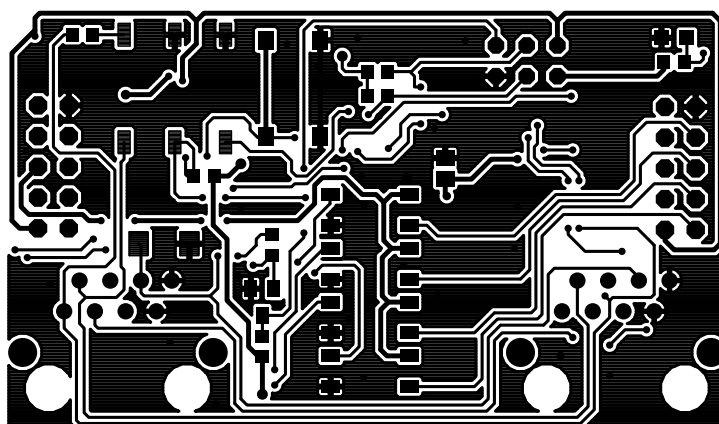


Obr. A.2: Schéma zapojení 2

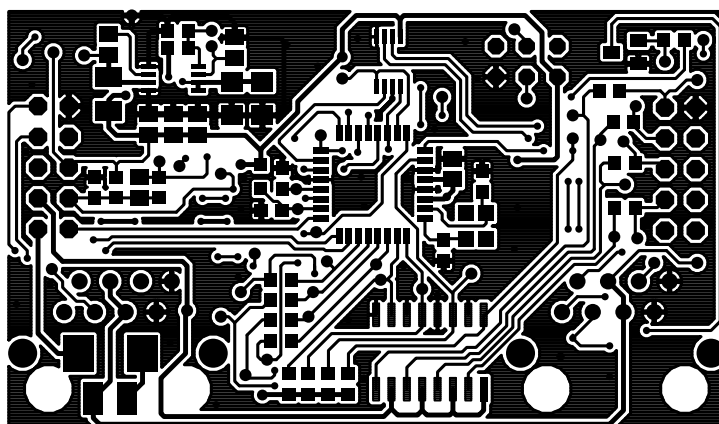


# Příloha B

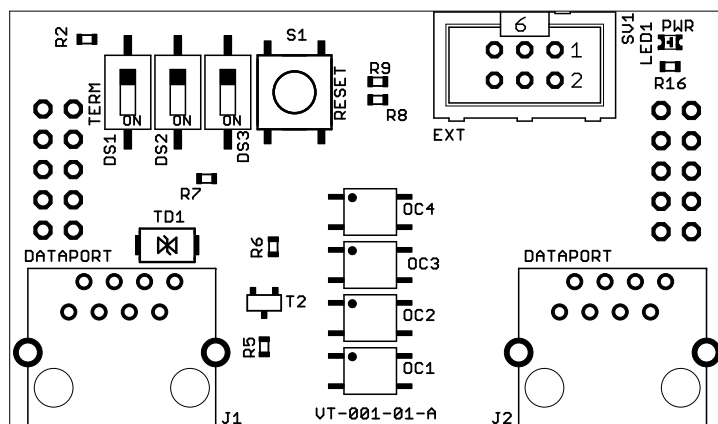
## Desky plošných spojů



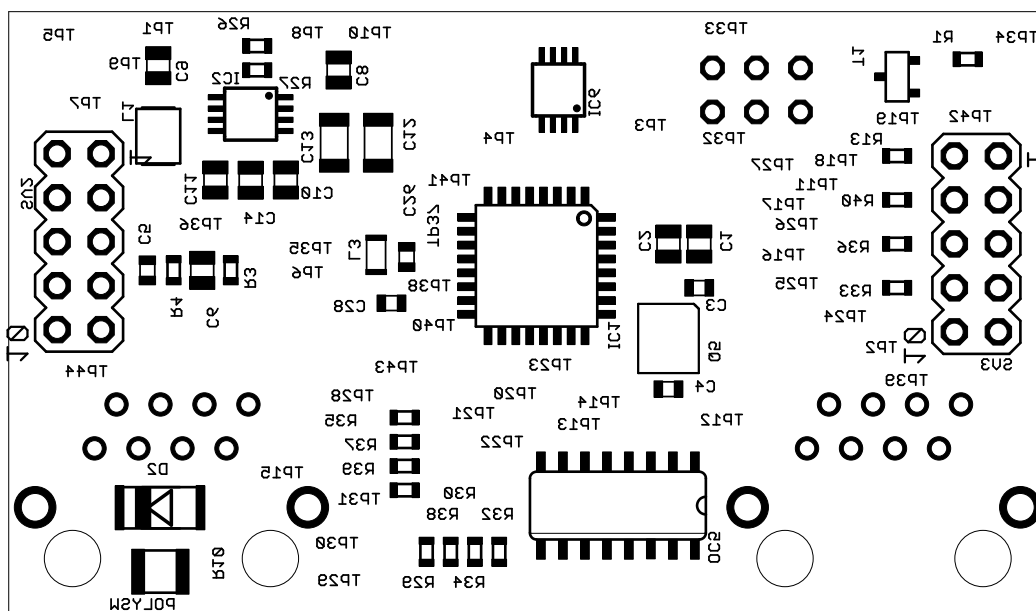
Obr. B.1: Nepájivá maska horní strany PCB



Obr. B.2: Nepájivá maska spodní strany PCB



Obr. B.3: Osazovací plán horní strany PCB



Obr. B.4: Osazovací plán spodní strany PCB

# Příloha C

## Zdrojový kód

```
1
2 /*
3  * iodef.h
4  *
5  * Created: 14.03.2022 8:50:19
6  * Author: tomas.viktora
7  */
8 #include "std.h"
9
10 #ifndef IODEF_H_
11 #define IODEF_H_
12
13 //Inputs
14 #define IN1 D,3
15 #define IN2 D,4
16 #define IN3 D,5
17 #define IN4 D,6
18
19 //Outputs
20 #define OUT1 B,2
21 #define OUT2 B,1
22 #define OUT3 B,0
23 #define OUT4 D,7
24
25 //UART
26 #define RX D,0
27 #define TX D,1
28 #define TEN C,0
29
30 //External signals
31 #define INT_0 C,1
32 #define INT_I D,2
33
34 //Reset watchdog
35 #define IN_MCU C,2
36
37 //Switch
38 #define SW1 C,3
39
40 uint no_of_inputs, no_of_outputs;
41 uchar last_in_state;
42 uint check_rx_data;
43 uint modbus_data_lenght;
44 uint cahnge_data_lenght;
45
46 volatile uchar rx_byte;
47
48 #endif /* IODEF_H_ */
49
```

```

1
2 /*
3  * std.h
4  *
5  * Created: 27.04.2022 16:07:27
6  * Author: tomas.viktora
7  */
8
9
10 #ifndef STD_H_
11 #define STD_H_
12
13 typedef unsigned char uchar;
14 typedef unsigned int uint;
15
16 #endif /* STD_H_ */
17
18
19
20
21
22
23
24
25
26
27
28
29
30
31
32
33
34
35
36
37
38
39
40
41
42
43
44
45
46
47
48
49
50
51
52 #endif
53

```

---

```

1
2 /* -----
3  *
4  *          AVR BASIC IO PORT CONTROLS
5  * -----
6  *
7  *          Ing. Lukas PIVONKA, www.lucass.cz
8  *
9  *          12/5/2009
10 *          - new defines strobe and strobe_us
11 *          - norm_bool define renamed to nbool
12 *
13 */
14
15 #ifndef _IOCTRL_H_
16 #define _IOCTRL_H_
17
18 // _____DECLARATIONS_____
19
20 // joins two parameters
21 #define concat(a, b) a ## b
22 // normalize a boolean, any value that corresponds to logical one is converted to number "1"
23 #define nbool(x) ((x)?1:0)
24 // set pin as output
25 #define setout_nodef(port, pin_no) (concat(DDR, port) |= _BV(pin_no))
26 #define setout(define) setout_nodef(define)
27 // set pin as input
28 #define setin_nodef(port, pin_no) (concat(DDR, port) &= ~_BV(pin_no))
29 #define setin(define) setin_nodef(define)
30 // read port pin no value
31 #define read_port_nodef(port, pin_no) (concat(PORT, port) & _BV(pin_no))
32 #define read_port(define) read_port_nodef(define)
33 // read pin no value
34 #define read_nodef(port, pin_no) (concat(PIN, port) & _BV(pin_no))
35 #define read(define) read_nodef(define)
36 // write port pin no value
37 #define write_nodef(port, pin_no, value) value?(concat(PORT, port) |= _BV(pin_no)): (concat(PORT, port) &= ~_BV(pin_no))
38 #define write(define, value) write_nodef(define, value)
39 // invert port pin no value
40 #define invert_nodef(port, pin_no) concat(PORT, port) ^= _BV(pin_no)
41 #define invert(define) invert_nodef(define)
42 // strobe pulse for three clocks (instruction time), level of the pulse depends on previous port value (zero = positive pulse)
43 #define strobe_nodef(port, pin_no) concat(PORT, port) ^= _BV(pin_no); concat(PORT, port) ^= _BV(pin_no)
44 #define strobe(define) strobe_nodef(define)
45 // strobe pulse for a number of microseconds (util/delay.h must be included and also F_CLK must be set for using this define)
46 #define strobe_us_nodef(port, pin_no, delay) concat(PORT, port) ^= _BV(pin_no); _delay_us(delay); concat(PORT, port) ^= _BV(pin_no)
47 #define strobe_us(define, delay) strobe_us_nodef(define, delay)
48
49
50 // -----
51
52 #endif
53

```

```
1
2 /*
3  * MODBUS.h
4  *
5  * Created: 11.04.2022 13:22:30
6  * Author: tomas.viktora
7  */
8
9 #include <avr/io.h>
10 #include <avr/interrupt.h>
11 #include <util/delay.h>
12 #include <stdio.h>
13 #include <string.h>
14 #include "ioctrl.h"
15 #include "iodef.h"
16 #include "std.h"
17
18
19 #ifndef MODBUS_H_
20 #define MODBUS_H_
21
22 #define SLAVE_ID 0x01 // prozatím, později zakomentovat
23
24 #define ID_BYTE 0
25 #define FUNCTION_BYTE 1
26 #define LENGHT_BYTE 2
27 #define DATA_START_BYTE 2
28
29 #define DO_SET_ON 0xFF00
30 #define DO_SET_OFF 0x0000
31
32 #define READ_DO 0x01
33 #define READ_DI 0x02
34 #define READ_AO 0x03
35 #define READ_AI 0x04
36 #define WRITE_SINGLE_DO 0x05
37 #define WRITE_SINGLE_AO 0x06
38 #define WRITE_MULTIPLE_DO 0x0F
39 #define WRITE_MULTIPLE_AO 0x10
40
41 #define NO_OF_STATIC_BYTES 2
42 #define NO_OF_CRC_BYTE 2
43
44 volatile uchar tx_data[32];
45 volatile uchar rx_data[32];
46 volatile uint cnt_rx;
47 volatile uint cnt_tx;
48 uchar digital_in[4];
49 uchar digital_out[4];
50 uint16_t analog_in[8];
51 uint16_t analog_out[8];
52
53 uint is_change_out;
54
55 #endif /* MODBUS_H_ */
56
57 uint16_t check_crc(uint data_length, uchar *data);
58 uint make_int(uchar crc_HB, uchar crc_LB);
59 void send_task(uchar function_code, uchar data_length, uchar *data);
60 void flush_rx_data(void);
61 void flush_tx_data(void);
62 void recieve_task(void);
63
```

```
1
2 /*
3 * MODBUS.c
4 *
5 * Created: 11.04.2022 13:19:16
6 * Author: tomas.viktora
7 */
8 #include "MODBUS.h"
9 #include "std.h"
10
11
12 uint make_int(uchar HB, uchar LB)
13 {
14     uint16_t temp = 0;
15
16     temp = HB;
17     temp <<= 8;
18     temp |= LB;
19
20     return temp;
21 }
22
23 void flush_rx_data(void)
24 {
25     signed char i = (32 - 1);
26
27     while(i > -1)
28     {
29         rx_data[i--] = 0x00;
30     };
31
32     cnt_rx = 0x00;
33 }
34
35
36 void flush_tx_data(void)
37 {
38     signed char i = (32 - 1);
39
40     while(i > -1)
41     {
42         tx_data[i--] = 0x00;
43     };
44
45     cnt_tx = 0x00;
46 }
47
48 uint16_t check_crc(uint16_t data_length, uchar *data)
49 {
50     uint16_t crc_word = 0xFFFF;
51
52     unsigned int i = 0;
53     char bit = 0;
54
55     for( i = 0; i < data_length; i++ )
56     {
57         crc_word ^= data[i];
58
59         for( bit = 0; bit < 8; bit++ )
60         {
61             if( crc_word & 0x0001 )
62             {
63                 crc_word >>= 1;
64                 crc_word ^= 0xA001;
65             }
66             else
67             {
68                 crc_word >>= 1;
69             }
70         }
71     }
72
73     return crc_word;

```

```

74 }
75
76 void get_hb_lb(uint value, uchar *HB, uchar *LB)
77 {
78     *LB = (value & 0x00FF);
79     *HB = ((value & 0xFF00) >> 0x08);
80 }
81
82 void recieve_task(void)
83 {
84     static uchar data_array[0x18] = {0x00, 0x00, 0x00, 0x00, 0x00, 0x00, 0x00, 0x00, 0x00, 0x00, 0x00, 0x00, 0x00, 0x00, 0x00, 0x00, 0x00, 0x00};
85     uint16_t start_register = 0x0000;
86     uint16_t no_of_register = 0x0000;
87     uint16_t state_digital_out = 0x0000;
88     uint16_t state_analog_out = 0x0000;
89     uint16_t crc = 0x0000;
90
91     uint error_label = 0;
92
93
94     if (rx_data[ID_BYTE] == SLAVE_ID)
95     {
96         switch(rx_data[FUNCTION_BYTE])
97         {
98             case READ_DO:
99                 {
100                     start_register = make_int(rx_data[2],rx_data[3]);
101                     no_of_register = make_int(rx_data[4],rx_data[5]);
102                     crc = make_int(rx_data[7],rx_data[6]);
103
104                     if((start_register >= 0) && (start_register <= 31))
105                     {
106                         if((no_of_register <= 32) && ((start_register + no_of_register -1) <= 31))
107                         {
108                             if(crc == check_crc(6, rx_data))
109                             {
110                                 data_array[0] = 0x01;
111
112                                 if (no_of_register > 8)
113                                 {
114                                     data_array[0] = 0x02;
115                                 }
116
117                                 if (no_of_register > 16)
118                                 {
119                                     data_array[0] = 0x03;
120                                 }
121
122                                 if (no_of_register > 24)
123                                 {
124                                     data_array[0] = 0x04;
125                                 }
126
127                                 uint no_of_bytes = (uint)data_array[0];
128                                 data_array[1] = digital_out[0];
129                                 data_array[2] = digital_out[1];
130                                 data_array[3] = digital_out[2];
131                                 data_array[4] = digital_out[3];
132
133                                 send_task(READ_DO, no_of_bytes + 1, data_array);
134                             }
135                             else
136                                 error_label = -1;
137                         }
138                     }
139                     else
140                         error_label = -1;
141                 }
142             else
143                 error_label = -1;
144
145             if(error_label == -1)
146             {

```

```
147         data_array[0] = 0x02;
148         send_task(READ_DO | 0x80, 1, data_array);
149     }
150
151     break;
152 }
153
154 case READ_DI:
155 {
156     start_register = make_int(rx_data[2],rx_data[3]);
157     no_of_register = make_int(rx_data[4],rx_data[5]);
158     crc = make_int(rx_data[7],rx_data[6]);
159
160     if((start_register >= 0) && (start_register <= 31))
161     {
162         if((no_of_register <= 32) && ((start_register + no_of_register -1) <= 31))
163         {
164             if(crc == check_crc(6, rx_data))
165             {
166                 data_array[0] = 0x01;
167
168                 if (no_of_register > 8)
169                 {
170                     data_array[0] = 0x02;
171                 }
172
173                 if (no_of_register > 16)
174                 {
175                     data_array[0] = 0x03;
176                 }
177
178                 if (no_of_register > 24)
179                 {
180                     data_array[0] = 0x04;
181                 }
182
183                 uint no_of_bytes = (uint)data_array[0];
184                 data_array[1] = digital_in[0];
185                 data_array[2] = digital_in[1];
186                 data_array[3] = digital_in[2];
187                 data_array[4] = digital_in[3];
188
189                 send_task(READ_DI, no_of_bytes + 1, data_array);
190             }
191             else
192                 error_label = -1;
193         }
194         else
195             error_label = -1;
196     }
197     else
198         error_label = -1;
199
200     if(error_label == -1)
201     {
202         data_array[0] = 0x02;
203         send_task(READ_DI | 0x80, 1, data_array);
204     }
205
206     break;
207 }
208
209 case READ_A0:
210 {
211     start_register = make_int(rx_data[2],rx_data[3]);
212     no_of_register = make_int(rx_data[4],rx_data[5]);
213     crc = make_int(rx_data[7],rx_data[6]);
214
215     uchar hb = 0x00;
216     uchar lb = 0x00;
217
218     if((start_register >= 0) && (start_register <= 7))
219     {
```



```

220         if((no_of_register <= 8) && ((start_register + no_of_register - 1) <= 7))
221         {
222             if(crc == check_crc(6, rx_data))
223             {
224                 data_array[0] = (2 * no_of_register);
225
226                 int j = 1;
227
228                 for (int i = 1; i < (2 * no_of_register) + 1; i++)
229                 {
230                     hb = 0x00;
231                     lb = 0x00;
232
233                     get_hb_lb(analog_out[start_register + i - 1], &hb, &lb);
234                     data_array[j] = hb;
235                     j++;
236                     data_array[j] = lb;
237                     j++;
238                 }
239
240                 send_task(READ_A0, ((2 * no_of_register) + 1), data_array);
241             }
242             else
243                 error_label = -1;
244         }
245         else
246             error_label = -1;
247     }
248     else
249         error_label = -1;
250
251     if(error_label == -1)
252     {
253         data_array[0] = 0x02;
254         send_task(READ_A0 | 0x80, 1, data_array);
255     }
256     break;
257 }
258
259 case READ_AI:
260 {
261     start_register = make_int(rx_data[2], rx_data[3]);
262     no_of_register = make_int(rx_data[4], rx_data[5]);
263     crc = make_int(rx_data[7], rx_data[6]);
264
265     uchar hb = 0x00;
266     uchar lb = 0x00;
267
268     if((start_register >= 0) && (start_register <= 7))
269     {
270         if((no_of_register <= 8) && ((start_register + no_of_register - 1) <= 7))
271         {
272             if(crc == check_crc(6, rx_data))
273             {
274                 data_array[0] = (2 * no_of_register);
275
276                 int j = 1;
277
278                 for (int i = 1; i < no_of_register + 1; i++)
279                 {
280                     hb = 0x00;
281                     lb = 0x00;
282
283                     get_hb_lb(analog_in[start_register + i - 1], &hb, &lb);
284                     data_array[j] = hb;
285                     j++;
286                     data_array[j] = lb;
287                     j++;
288                 }
289
290                 send_task(READ_AI, ((2 * no_of_register) + 1), data_array);
291             }
292             else

```

```

293             error_label = -1;
294         }
295         else
296             error_label = -1;
297     }
298     else
299         error_label = -1;
300
301     if(error_label == -1)
302     {
303         data_array[0] = 0x02;
304         send_task(READ_AI | 0x80, 1, data_array);
305     }
306     break;
307 }
308
309 case WRITE_SINGLE_DO:
310 {
311     start_register = make_int(rx_data[2],rx_data[3]);
312     state_digital_out = make_int(rx_data[4],rx_data[5]);
313     crc = make_int(rx_data[7],rx_data[6]);
314     uchar temp_state = 0x01;
315
316     if((start_register >= 0) && (start_register <= 31))
317     {
318
319         if((state_digital_out == DO_SET_ON) ||(state_digital_out == DO_SET_OFF))
320         {
321
322             if(crc == check_crc(6, rx_data))
323             {
324
325                 if(state_digital_out == DO_SET_ON)
326                 {
327
328                     if(start_register > 0x07)
329                     {
330                         temp_state = start_register - 8;
331                         digital_out[1] |= temp_state;
332                     }
333                     if(start_register > 0x0F)
334                     {
335                         temp_state <= start_register - 16;
336                         digital_out[2] |= temp_state;
337                     }
338                     if(start_register > 0x17)
339                     {
340                         temp_state <= start_register - 24;
341                         digital_out[3] |= temp_state;
342                     }
343                     else
344                     {
345                         temp_state <= start_register;
346                         digital_out[0] |= temp_state;
347                     }
348
349                 }
350                 else
351                 {
352                     if(start_register > 0x07)
353                     {
354                         temp_state <= start_register - 8;
355                         digital_out[1] &= (~temp_state);
356                     }
357                     if(start_register > 0x0F)
358                     {
359                         temp_state <= start_register - 16;
360                         digital_out[2] &= (~temp_state);
361                     }
362                     if(start_register > 0x17)
363                     {
364                         temp_state <= start_register - 24;
365                         digital_out[3] &= (~temp_state);

```

```
366         }
367         else
368         {
369             temp_state <= start_register;
370             digital_out[0]&= (~temp_state);
371         }
372     }
373
374     data_array[0] = rx_data[2];
375     data_array[1] = rx_data[3];
376     data_array[2] = rx_data[4];
377     data_array[3] = rx_data[5];
378
379     is_change_out = 1;
380
381     send_task(WRITE_SINGLE_D0, 4, data_array);
382 }
383 else
384     error_label = -1;
385 }
386 else
387     error_label = -1;
388 }
389 else
390     error_label = -1;
391
392 if(error_label == -1)
393 {
394     data_array[0] = 0x02;
395     send_task(WRITE_SINGLE_D0 | 0x80, 1, data_array);
396 }
397
398 break;
399 }
400
401 case WRITE_SINGLE_A0:
402 {
403     start_register = make_int(rx_data[2],rx_data[3]);
404     state_analog_out = make_int(rx_data[4],rx_data[5]);
405     crc = make_int(rx_data[7],rx_data[6]);
406
407     if((start_register >= 0) && (start_register <= 7))
408     {
409         if(crc == check_crc(6, rx_data))
410         {
411             analog_out[start_register]= state_analog_out;
412
413             data_array[0] = rx_data[2];
414             data_array[1] = rx_data[3];
415             data_array[2] = rx_data[4];
416             data_array[3] = rx_data[5];
417
418             send_task(WRITE_SINGLE_A0, 4, data_array);
419         }
420         else
421             error_label = -1;
422     }
423     else
424         error_label = -1;
425
426     if(error_label == -1)
427     {
428         data_array[0] = 0x02;
429         send_task(WRITE_SINGLE_A0 | 0x80, 1, data_array);
430     }
431
432     break;
433 }
434
435 case WRITE_MULTIPLE_D0:
436 {
437     start_register = make_int(rx_data[2],rx_data[3]);
438     no_of_register = make_int(rx_data[4],rx_data[5]);
```

```

439     uint no_of_bytes = rx_data[6];
440     crc = make_int(rx_data[8 + no_of_bytes],rx_data[7 + no_of_bytes]);
441
442     if((start_register >= 0) && (start_register <= 31))
443     {
444         if((no_of_register <= 32) && ((start_register + no_of_register -1) <= 31))
445         {
446             if(crc == check_crc(7 + no_of_bytes, rx_data))
447             {
448                 for(int i = 0; i < no_of_register; i++)
449                 {
450                     digital_out[(start_register + i) / 8] &= ~(0b00000001 << (i / 8));
451                     digital_out[(start_register + i) / 8] |= ((rx_data[7 + i] << (i % 8)));
452                 }
453
454                 data_array[0] = rx_data[2];
455                 data_array[1] = rx_data[3];
456                 data_array[2] = rx_data[4];
457                 data_array[3] = rx_data[5];
458
459                 send_task(WRITE_MULTIPLE_DO, 4, data_array);
460
461                 is_change_out = 1;
462             }
463             else
464                 error_label = -1;
465         }
466         else
467             error_label = -1;
468     }
469     else
470         error_label = -1;
471
472     if(error_label == -1)
473     {
474         data_array[0] = 0x02;
475         send_task(WRITE_MULTIPLE_DO | 0x80, 1, data_array);
476     }
477     break;
478 }
479
480 case WRITE_MULTIPLE_A0:
481 {
482     start_register = make_int(rx_data[2],rx_data[3]);
483     no_of_register = make_int(rx_data[4],rx_data[5]);
484     uint no_of_bytes = rx_data[6];
485     crc = make_int(rx_data[8 + no_of_bytes],rx_data[7 + no_of_bytes]);
486
487     if((start_register >= 0) && (start_register <= 7))
488     {
489         if((no_of_register <= 8) && ((start_register + no_of_register -1) <= 7))
490         {
491             if(crc == check_crc(7 + no_of_bytes, rx_data))
492             {
493                 for(int i = 0; i < no_of_register;i++)
494                     analog_out[i + start_register] = make_int(rx_data[7 + i], rx_data[8 + i]);
495
496                 data_array[0] = rx_data[2];
497                 data_array[1] = rx_data[3];
498                 data_array[2] = rx_data[4];
499                 data_array[3] = rx_data[5];
500                 send_task(WRITE_MULTIPLE_A0, 4, data_array);
501             }
502             else
503                 error_label = -1;
504         }
505         else
506             error_label = -1;
507     }
508     else
509         error_label = -1;
510
511     if(error_label == -1)

```

```

512         {
513             data_array[0] = 0x02;
514             send_task(WRITE_MULTIPLE_AO | 0x80, 1, data_array);
515         }
516         break;
517     }
518
519     default:
520     {
521         data_array[0] = 0x01;
522         send_task(rx_data[FUNCTION_BYTE] | 0x80, 1, data_array);
523         break;
524     }
525 }
526
527 flush_rx_data();
528 }
529 }
530
531 void send_task(uchar function_code, uchar data_length, uchar *data)
532 {
533     uchar crc_hb = 0x00;
534     uchar crc_lb = 0x00;
535     uint lenght_sended_data = 0;
536
537     flush_tx_data();
538
539     tx_data[ID_BYTE] = SLAVE_ID;
540     tx_data[FUNCTION_BYTE] = function_code;
541
542     for(int i = 0; i < data_length; i++)
543     {
544         tx_data[2+i] = data[i];
545     }
546
547     get_hb_lb(check_crc((data_length + NO_OF_STATIC_BYTES),tx_data), &crc_hb, &crc_lb);
548
549     tx_data[DATA_START_BYTE + data_length] = crc_lb;
550     tx_data[DATA_START_BYTE + data_length + 1] = crc_hb;
551
552     lenght_sended_data = NO_OF_STATIC_BYTES + data_length + NO_OF_CRC_BYTE + 2;
553
554     // Sending response
555
556     write(TEN, 1);
557     UCSROB &= ~(1<<RXENO);
558
559     for (int i = 0; i < lenght_sended_data; i++)
560     {
561         while(!(UCSROA & (1<<UDRE0)));
562         UDRO = tx_data[i];
563         while(!(UCSROA & (1<<TXCO)));
564     }
565
566     write(TEN, 0);
567     UCSROB |= 1<<RXENO;
568
569 }
570
571
572
573
574
575
576
577
578
579
580
581
582
583
584
585
586
587
588
589
590
591
592
593
594
595
596
597
598
599
600
601
602
603
604
605
606
607
608
609
610
611
612
613
614
615
616
617
618
619
620
621
622
623
624
625
626
627
628
629
630
631
632
633
634
635
636
637
638
639
640
641
642
643
644
645
646
647
648
649
650
651
652
653
654
655
656
657
658
659
660
661
662
663
664
665
666
667
668
669
670
671
672
673
674
675
676
677
678
679
680
681
682
683
684
685
686
687
688
689
690
691
692
693
694
695
696
697
698
699
700
701
702
703
704
705
706
707
708
709
710
711
712
713
714
715
716
717
718
719
720
721
722
723
724
725
726
727
728
729
730
731
732
733
734
735
736
737
738
739
740
741
742
743
744
745
746
747
748
749
750
751
752
753
754
755
756
757
758
759
760
761
762
763
764
765
766
767
768
769
770
771
772
773
774
775
776
777
778
779
780
781
782
783
784
785
786
787
788
789
790
791
792
793
794
795
796
797
798
799
800
801
802
803
804
805
806
807
808
809
810
811
812
813
814
815
816
817
818
819
820
821
822
823
824
825
826
827
828
829
830
831
832
833
834
835
836
837
838
839
840
841
842
843
844
845
846
847
848
849
850
851
852
853
854
855
856
857
858
859
860
861
862
863
864
865
866
867
868
869
870
871
872
873
874
875
876
877
878
879
880
881
882
883
884
885
886
887
888
889
890
891
892
893
894
895
896
897
898
899
900
901
902
903
904
905
906
907
908
909
910
911
912
913
914
915
916
917
918
919
920
921
922
923
924
925
926
927
928
929
930
931
932
933
934
935
936
937
938
939
940
941
942
943
944
945
946
947
948
949
950
951
952
953
954
955
956
957
958
959
960
961
962
963
964
965
966
967
968
969
970
971
972
973
974
975
976
977
978
979
980
981
982
983
984
985
986
987
988
989
990
991
992
993
994
995
996
997
998
999
1000

```

```
14 #include <avr/io.h>
15 #include <avr/interrupt.h>
16 #include <util/delay.h>
17 #include <stdio.h>
18 #include <string.h>
19 #include "ioctrl.h"
20 #include "iodef.h"
21 #include "std.h"
22 #include "MODBUS.h"
23
24
25 ISR(USART_RX_vect)
26 {
27     rx_byte = UDR0;
28     rx_data[cnt_rx] = rx_byte;
29
30     if((cnt_rx == 1) && ((rx_byte == 0x0F) || (rx_byte == 0x10)))
31         cahnge_data_lenght = 1;
32
33     if((cnt_rx == 6) && (cahnge_data_lenght == 1))
34     {
35         cahnge_data_lenght = 0;
36         modbus_data_lenght = 9 + rx_byte;
37     }
38
39     cnt_rx++;
40
41     if (cnt_rx == modbus_data_lenght)
42     {
43         check_rx_data = 1;
44     }
45 }
46
47 // 115200bps/16MHz
48 void uart_init()
49 {
50     UBRROH = 0;
51     //115200
52     UBRROL = 16;
53     // double speed
54     UCSROA = 1<<U2X0;
55     // 8bit
56     UCSROC = 1<<UCSZ01 | 1<<UCSZ00;
57     // enable receiver, rx interrupt
58     UCSROB = 1<<RXEN0 | 1<<TXEN0 | 1<<RXCIE0; // | 1<<TXCIE0;
59 }
60
61 void io_init()
62 {
63     setin(IN1);
64     setin(IN2);
65     setin(IN3);
66     setin(IN4);
67     setout(OUT1);
68     setout(OUT2);
69     setout(OUT3);
70     setout(OUT4);
71     setout(TEN);
72     setin(INT_I);
73     setout(INT_0);
74     setin(IN_MCU);
75     setin(SW1);
76
77     setin(RX);
78     setout(TX);
79
80     no_of_inputs = 4;
81     no_of_outputs = 4;
82     last_in_state = 0x00;
83     is_change_out = 0;
84     check_rx_data = 0;
85     modbus_data_lenght = 8;
86
```

```
87 }
88
89 void clear_register()
90 {
91     for(int i = 0; i < 4;i++)
92     {
93         digital_in[i] = 0x00;
94         digital_out[i] = 0x00;
95     }
96
97     for(int i = 0; i < 8;i++)
98     {
99         analog_in[i] = 0x0000;
100        analog_out[i] = 0x0000;
101    }
102 }
103
104 void check_inputs()
105 {
106     uchar temp = (PIND >> 3) & 0b00001111;
107
108     if(last_in_state != temp)
109     {
110         last_in_state = temp;
111         digital_in[0] = (digital_in[0] & 11110000) | ((~temp) & 0b00001111);
112     }
113 }
114
115 void check_output_state()
116 {
117     uchar temp = 0x00;
118
119     if(is_change_out)
120     {
121         for(int i = 0; i < 4; i++)
122         {
123             temp = (digital_out[0] >> i) & 0b00000001;
124
125             switch (i)
126             {
127                 case 0:
128                 {
129                     write(OUT1,temp);
130                     break;
131                 }
132                 case 1:
133                 {
134                     write(OUT2,temp);
135                     break;
136                 }
137                 case 2:
138                 {
139                     write(OUT3,temp);
140                     break;
141                 }
142                 case 3:
143                 {
144                     write(OUT4,temp);
145                     break;
146                 }
147                 default:
148                     break;
149             }
150         }
151
152         is_change_out = 0;
153     }
154 }
155
156
157 int main(void)
158 {
159     io_init();
```

```
160     uart_init();
161     clear_register();
162
163     sei();
164     //write(TEN, 1);
165
166     while (1)
167     {
168         if (check_rx_data)
169         {
170             check_rx_data = 0;
171             modbus_data_lenght = 8;
172             recieve_task();
173         }
174
175         check_inputs();
176         check_output_state();
177     }
178 }
179 }
180
```